

مؤسسه آموزش عالی آزاد پرتو



# آخرین قدم

## در درس انتقال جرم

استاد محمود میرزازاده

در راهی که با هم شروع کردیم و هدفی که برای خود ترسیم نموده ایم، یک کلمه مشترک جلب توجه می کند:

### قبولی در آزمون کارشناسی ارشد

در واقع هدف ما در این راستا، آشکارا و به طور مکرر بیان شده است:  
تاسال ۹۰، ۹۰ درصد پذیرش کل در ۳۳ رشته کارشناسی ارشد، از اعضاء خانواده پارسه باشند.

و هدف شما نیز در این راستا به وضوح قابل تشخیص است:  
من باید در سال جاری یکی از پذیرفته شدگان کنکور کارشناسی ارشد باشم (البته احتمالاً با یک قید اضافی یعنی اسم دانشگاه).

این است که برای تحقق این اهداف چندماهی را همراه هم بوده ایم.  
در حقیقت اولین قدم، پیوستن شما به برنامه های پارسه بود که با دریافت منابع علمی ارائه شده، حرکت مشترک شروع گردید و با اجرای هر آزمون یک گام به جلو برداشتیم.

از اولین روز تصمیم داشتیم، بعد از ششمین آزمون، یک برنامه ویژه را برای رسیدن به هدف مشترکمان، خدمتمن ارائه کنیم.

به طور طبیعی طرح مذکور برای کسانی آمده شده که به طور نسبی با برنامه های ما پیش آمدند و به نظر می رسد به طور ملموسی بتنسل موفقیت در آزمون سال جاری را دارا هستند، این است که افراد مخاطب ما، بایستی حائز این شرط باشند که:

### یک چهارم نمره حدنصاب رشته ≥ مجموع نمره علمی شش آزمون

۶

از آنجا که در روزهای نزدیک امتحان آنچه اهمیت دارد، مرور آموخته های قبلی است و آنچه فاقد ارزش و البته اتفاق وقت است، آموختن مطالب جدید می باشد، لذا آنچه در پیش روی دارید تلاشی است برای یک مقصود کاملاً ارزشمند:

### کسب بهترین نتیجه با صرف کمترین زمان

مجموعه حاضر که حاصل تلاش مجده ای اساتید محترم پارسه است و با تکیه بر سالیان متتمادی تجربه ایشان در آزمون های ورودی کارشناسی ارشد طراحی گردیده، در رئوس زیر جمع بندی شده و اصلی ترین مطالب که در روزهای نزدیک امتحان باید به خاطر داشته باشید را مرور می کند.

۱- ارائه خلاصه درس به همراه طرح نکات کلیدی

۲- ارائه مهم ترین تست های کنکور های سراسری و پارسه در سالیان اخیر

این است که با مطالعه آن می توانید ضمن ثبت آموخته هایتان، توانایی های لازم برای روز آزمون را بهبود بخشیده و با کسب بک اعتماد به نفس کاملاً منطقی، ترفع قابل توجهی را در رتبه خود ایجاد کنید.

### بس لطفاً آخرین قدم را محکم بردارید

کاوه عابدینزاده

رئیس موسسه آموزش عالی پارسه

info@parseh.ac.ir

## بخش اول

### انتقال جرم

#### ۱- مکانیزم‌های انتقال جرم

انتقال جرم بین فازها با دو مکانیزم نفوذ مولکولی و جابه‌جایی انجام می‌شود. در نفوذ مولکولی توده سیال قادر حركت است (حرکت به مفهوم سیالاتی) اما در جابه‌جایی، توده سیال دارای حرکت است ( $v \neq 0$ ).

عامل اصلی انتقال جرم بین دو فاز وجود اختلاف پتانسیل شیمیایی است اما درون یک فاز اختلاف غلظت شرط انتقال جرم است.

#### ۲- نفوذ مولکولی در سیالات

شار مطلق انتقال جرم ( $N_A$ ) عبارت است از تعداد مول‌های جزء A که در واحد زمان و در واحد سطح نسبت به یک ناظر لخت از نقطه‌ای به نقطه دیگر منتقل می‌شود و به صورت زیر بیان می‌شود:

$$N_A = C_A v_A \quad (1)$$

$v_A$  در معادله فوق سرعت جزء A نسبت به ناظر لخت است. دقت شود که در نفوذ با وجود آنکه حرکت در مقیاس ماکروسکوپی وجود ندارد اما در مقیاس مولکولی حرکت اجزاء انجام می‌شود. لذا در معادله بالا  $v_A$  همان سرعت ناشی از نفوذ است که در مقیاس مولکولی انجام می‌شود. چون این سرعت‌ها قابل اندازه‌گیری نیستند بنابراین لازم است رابطه فوق در قالب کمیت‌های قابل اندازه‌گیری بازنویسی شود:

$$N_A = C_A \left( v_A - \dot{v} \right) + C_A \dot{v} \quad (2)$$

$$N_A = J_A + C_A \dot{v} \quad (3)$$

$$J_A = C_A \left( v_A - \dot{v} \right) \quad (4)$$

$$\dot{v} = \frac{\sum C_i v_i}{\sum C_i} \quad (5)$$

در معادلات بالا،  $N_A$ : شار مطلق A،  $J_A$ : شار نسبی A ناشی از نفوذ،  $C_A$ : انتقال جرم ناشی از حرکت توده و  $v$ : سرعت متوسط مولی ناشی از نفوذ اجزاء است.

## ۱-۲- قانون اول فیک و نکات آن

فرم اصلی و بی قید و شرط قانون اول فیک به صورت زیر است:

$$J_A = -CD_{AB} \nabla x_A \quad (6)$$

در صورتی که غلظت مولی کل (C) ثابت باشد به صورت زیر خواهد شد:

$$J_A = -D_{AB} \nabla C_A \quad (7)$$

نکات قانون اول فیک به اختصار عبارتند از:

- ضریب نفوذ A در B ( $D_{AB}$ ) به حلالیت اجزاء بستگی ندارد.
- ضریب نفوذ در گازها، مایعات و جامدات به ترتیب  $10^{-12} \frac{m^2}{s}$  و  $10^{-9} \frac{m^2}{s}$  و  $10^{-5} \frac{m^2}{s}$  است. یعنی جزء B گاز، مایع یا جامد باشد.
- ضریب نفوذ در گازها با دما و فشار به صورت زیر رابطه دارد:

$$D_{AB} \sim T^{\frac{3}{2}}, \frac{1}{P_1}, \frac{1}{f} \quad (8)$$

در معادله بالا T دمای مطلق گاز و f تابع برخورده مولکول های گاز است. اگر تغییرات دما کمتر از  $50^{\circ}C$  باشد f اثری بر  $D_{AB}$  ندارد و لذا:

$$\frac{D_{AB,2}}{D_{AB,1}} = \left( \frac{T_2}{T_1} \right)^{\frac{3}{2}} \left( \frac{P_1}{P_2} \right) \quad (9)$$

• ضریب نفوذ در مایعات به صورت زیر با دما و ویسکوزیته رابطه دارد:

$$\frac{D_{AB,2}}{D_{AB,1}} = \left( \frac{T_2}{T_1} \right) \left( \frac{\mu_1}{\mu_2} \right) \left( \frac{M_{B2}}{M_{B1}} \right)^{0.5} \left( \frac{v_{A1}}{v_{A2}} \right)^{0.6} \quad (10)$$

در معادله بالا T : دمای مطلق،  $\mu$  : ویسکوزیته مایع،  $M_B$  : جرم مولکولی محیط نفوذ،  $v_A$  : حجم ویژه جزء A

• ضریب نفوذ در مایعات مستقل از فشار ولی وابسته به غلظت است. اما در گازها ضریب نفوذ در گازها به فشار بستگی دارد ولی به غلظت بستگی ندارد.

• اگر غلظت مولی کل ثابت باشد.

• مجموع شارهای مولی نسبی ناشی از نفوذ اجزاء برابر صفر است.  $(\sum j_i = 0)$

## ۲-۲- معادله اساسی شار انتقال جرم

با توجه به قانون اول فیک معادله (3) به صورت زیر قابل بازنویسی است:

$$N_A = -CD_{AB} \nabla x_A + x_A \sum N_i \quad (11)$$

$$x_A = \frac{C_A}{C}, \sum N_i = N_A + N_B \quad (12)$$

### ۴-۲- اثر مختصات بر $N_A$

در صورتی که واکنش شیمیایی هموزنی انجام نشود و شرایط انتقال جرم پایدار فرض شود از موازنگی جزء می‌توان نتیجه گرفت که نرخ انتقال جزء ( $G_A$ ) مقداری ثابت است. رابطه  $G_A$  با  $N_A$  به صورت زیر است:

$$G_A = N_A \cdot A$$

$A$  در معادله فوق سطح انتقال جرم است. با توجه به اینکه در مختصات کارتزین،  $A$  ثابت بوده و در مختصات استوانه‌ای و کروی  $A$  به ترتیب برابر  $A = 2\pi rL$  و  $A = 4\pi r^2$  می‌باشد. لذا:

$$N_A = \text{ثابت} , \frac{dN_A}{dz} = 0 \quad (13)$$

$$G_A = N_A (2\pi rL) = \text{ثابت} , \frac{d}{dr}(rN_A) = 0 \quad (14)$$

$$G_A = N_A (4\pi r^2) = \text{ثابت} , \frac{d}{dr}(r^2 N_A) = 0 \quad (15)$$

### ۴-۳- روابط شار در مسائل نفوذ

ترم  $\sum N_i$  (در معادله (۱۱)) در مسائل مختلف انتقال جرم به یکی از صورت‌های زیر می‌باشد:

۱- اگر انتقال جرم از نوع نفوذ در جزء ساکن باشد:

$$N_A \neq 0 , N_B = 0 \rightarrow \sum N_i = N_A \quad (16)$$

در بسیاری از فرآیندها مثل جذب و دفع، جذب و دفع سطحی، خشک کردن و رطوبت سنجی به دلیل آنکه فقط یک جزء بین دو فاز مبادله می‌شود. فرض انتقال در جزء ساکن قابل قبول است. اما در فرآیندی مثل تقطیر که همه اجزاء بین دو فاز مبادله می‌شوند این فرض صادق نیست.

۲- اگر انتقال جرم از نوع نفوذ متقابل با مول‌های برابر باشد، همانند انتقال گازها:

$$N_A = -N_B \rightarrow \sum N_i = 0 \quad (17)$$

۳- اگر نفوذ توازن با واکنش هتروژن باشد ترم  $N_i$  به معادله واکنش بستگی دارد. در این حالت با توجه به معادله واکنش به صورت زیر عمل می‌کنیم:

$$aA + bB + \dots \rightarrow rR + sS + \dots \quad (18)$$

$$\frac{N_A}{a} = \frac{N_B}{b} = \dots = \frac{N_R}{r} = \frac{N_S}{s} = \dots \quad (19)$$

$$\sum N_i = N_A + \frac{b}{a} N_A + \dots - \frac{r}{a} N_A - \frac{s}{a} N_A - \dots = \left( 1 + \frac{b}{a} + \dots - \frac{r}{a} - \frac{s}{a} - \dots \right) N_A \quad (20)$$

نکته: در معادله (۲۰) باید شار اجزاء جامد در معادله واکنش برابر صفر قرار داده شود. با توجه به موارد فوق، در مختصات کارتزین شار انتقال جرم ناشی از نفوذ به یکی از صورت‌های زیر قابل بیان است:

اگر  $\sum N_i \neq 0$  باشد:

$$N_A = \frac{N_A}{\sum N_i} \cdot \frac{CD_{AB}}{Z} \ln \left[ \frac{\frac{N_A}{\sum N_i} - \frac{C_{A2}}{C}}{\frac{N_A}{\sum N_i} - \frac{C_{A1}}{C}} \right] \quad (22)$$

اگر  $\sum N_i = 0$  باشد:

$$N_A = \frac{CD_{AB}}{Z} \left[ \frac{C_{A1}}{C} - \frac{C_{A2}}{C} \right] = \frac{CD_{AB}}{Z} [x_{A1} - x_{A2}] \quad (23)$$

برای مایر مختصات‌ها (استوانه و کره) رابطه شار با نرخ انتقال جرم از ترکیب معادلات (۱۱)، (۱۵)، (۱۶)، (۱۷)، (۱۸) و (۲۱) به دست می‌آید.

به عنوان مثال نرخ تبادل جرم در یک پوسته استوانه‌ای به شعاع داخلی  $R_1$  و شعاع خارجی  $R_2$  و به طول  $L$  که غلظت در سطوح داخلی و خارجی آن به ترتیب  $C_{A1}$  و  $C_{A2}$  می‌باشد و انتقال جرم از نوع نفوذ در جزء ساکن باشد به صورت زیر محاسبه می‌شود:

$$\sum N_i = N_A \rightarrow N_A = -D_{AB} \frac{dC_A}{dr} + \frac{C_A}{C} N_A$$

$$N_A = \frac{-D_{AB} \frac{dC_A}{dr}}{1 - \frac{C_A}{C}}$$

$$G_A = \left[ \frac{-D_{AB} \frac{dC_A}{dr}}{1 - \frac{C_A}{C}} \right] (2\pi r L)$$

$$G_A = \frac{-2\pi L D_{AB} \int_{C_{A1}}^{C_{A2}} \frac{dC_A}{1 - \frac{C_A}{C}}}{\int_{R_1}^{R_2} \frac{dr}{r}}$$

$$G_A = \frac{2\pi L D_{AB} C L \ln \left[ \frac{1 - \frac{C_{A2}}{C}}{1 - \frac{C_{A1}}{C}} \right]}{\ln \left( \frac{R_2}{R_1} \right)}$$

#### خلاصه نکات روابط شار انتقال جرم:

- در مختصات کارتزین و در نفوذ متقابل پروفایل غلظت خطی است.
- در مختصات کارتزین و در نفوذ در جزء ساکن پروفایل غلظت اکسپوننسیالی است.
- در معادله شار (۱۱) ترم  $\sum N_i x_A$  در محلول‌های رقیق و در مسائل نفوذ متقابل قابل صرفنظر است. در این حالت در مختصات کارتزین پروفایل غلظت به صورت خطی خواهد بود.
- با تعریف متوسط لگاریتمی غلظت  $B(x_{BM})$  روابط لگاریتمی شار مشابه روابط خطی خواهد شد.

$$x_{BM} = \frac{x_{B2} - x_{B1}}{\ln\left(\frac{x_{B2}}{x_{B1}}\right)} \quad (24)$$

در محلول‌های رقیق از A،  $x_{BM}$  به سمت یک میل می‌گند.

### ۲-۵- معادله دیفرانسیل انتقال جرم و قانون دوم نیک

با نوشتن موازنه جزء A در مسائل انتقال جرم، معادله دیفرانسیل بیان کننده تغییرات غلظت A بر حسب مکان و زمان به صورت زیر خواهد شد:

$$\frac{\partial C_A}{\partial t} + v \cdot \nabla C_A = D_{AB} \nabla^2 C_A + R_A \quad (25)$$

که در معادله بالا،  $R_A$  : سرعت واکنش هموژن،  $v \cdot \nabla C_A$  : انتقال جرم ناشی از حرکت توده سیال و  $D_{AB} \nabla^2 C_A$  : انتقال جرم ناشی از نفوذ می‌باشد. در معادله بالا اگر واکنش همگن شبیه‌ای و حرکت توده‌ای سیال نداشته باشیم:

$$\frac{\partial C_A}{\partial t} = D_{AB} \nabla^2 C_A \quad (26)$$

معادله بالا همان قانون دوم فیک است. مهم‌ترین کاربرد قانون دوم فیک در مسائل نفوذ نابایدار در جامدات است (مثل فرآیند Drying) مطابق قانون دوم فیک زمان لازم برای یک تحول با محدود ضخامت مناسب است.

### ۳-۶- مسئله تصعید گلوله نفتالین

اگر گلوله نفتالینی به شعاع اولیه  $R_0$  داشته باشیم که به درون هوای ساکن تصعید می‌شود شار انتقال جرم و زمان لازم برای تصعید کامل گلوله از معادله‌های زیر به دست می‌آید:

$$N_A = -\frac{dn_A}{Adt} = -\frac{\rho}{M} \frac{dR}{dt}$$

$$N_A = -\frac{D_{AB}}{R_g T} \frac{dP_A}{dr} + \frac{P_A}{P_t} N_A$$

$$N_A = -\frac{\frac{D_{AB}}{R_g T} \frac{dP_A}{dr}}{1 - \frac{P_A}{P_t}}$$

$$G_A = N_A \cdot (4\pi r^2)$$

$$G_A = \frac{-4\pi D_{AB} \int_{P_A^S}^0 \frac{dP_A}{1 - \frac{P_A}{P_t}}}{R_g T \int_R^\infty \frac{dr}{r^2}}$$

$$G_A = \frac{4\pi D_{AB} P_t R}{R_g T} \ln \frac{1}{1 - \frac{P_A^S}{P_t}}$$

$$t = \frac{\rho R_g T}{2MD_{AB} P_t \ln \left( \frac{P_t}{P_t - P_A^S} \right)} R_0^2$$

### ۳- انتقال جرم جابه‌جایی

اگر توده میال دارای حرکت به مفهوم سیالاتی باشد جابه‌جایی مکانیزم غالب انتقال جرم است. شار انتقال جرم به دو روش قابل محاسبه است. در روش اول از روابط مشابه روابط نفوذ استفاده می‌شود. (معادلات ۲۲ و ۲۳). در این حالت به جای ترم  $\frac{CD_{AB}}{Z}$  در معادلات نفوذ، از ضریب انتقال جرم  $F$  استفاده می‌شود. لذا:

$$N_A = \frac{N_A}{\sum N_i} F L_B \left[ \begin{array}{l} \frac{N_A}{\sum N_i} - \frac{C_{A2}}{C} \\ \frac{N_A}{\sum N_i} - \frac{C_{A1}}{C} \end{array} \right] \quad \text{اگر } \sum N_i \neq 0 \quad (27)$$

$$N_A = F \left( \frac{C_{A1}}{C} - \frac{C_{A2}}{C} \right) \quad \text{اگر } \sum N_i = 0 \quad (28)$$

در روش دوم روابط شار انتقال جرم جابه‌جایی به تقلید از روابط انتقال حرارت جابه‌جایی ( $q = h \cdot \Delta T$ ) نوشته می‌شود:

نیروی محرکه غلظت  $\times$  ضریب انتقال جرم = شار انتقال جرم  
با توجه به تنوع واحدهای غلظت، ضرایب انتقال جرم نوع  $k$  دارای تنوع زیادی هستند:

اگر  $\sum N_i \neq 0$  باشد:

$$\begin{cases} N_A = k_C \Delta C_A = k_y \Delta y_A = k_G \Delta P_A \\ N_A = k_L \Delta C_A = k_x \Delta x_A \end{cases} \quad (29)$$

اگر  $\sum N_i = 0$  باشد:

$$\begin{cases} N_A = k'_C \Delta C_A = k'_y \Delta y_A = k'_G \Delta P_A \\ N_A = k'_L \Delta C_A = k'_x \Delta x_A \end{cases} \quad (30)$$

رابطه میان ضرایب انتقال جرم نوع  $F$  و  $k$ ،  $k'$  به صورت زیر است:

$$F = k_G \cdot P_{BM} = k_y \cdot y_{BM} = k_c C_{BM} = k_L \cdot C_{BM} = k_x \cdot x_{BM} \quad (31)$$

$$F = k'_G \cdot P_I = k_y \cdot k_c C = k_L \cdot C = k_x \quad (32)$$

### ۳-۱- روش‌های محاسبه ضرایب انتقال جرم

برای محاسبه ضرایب انتقال جرم جابه‌جایی نوع  $F$  و  $k$  چهار روش اصلی وجود دارد که عبارتند از:

- تشابه با حرارت و سیالات (similarity)
- تنوری‌های انتقال جرم
- حل معادلات بقای جرم، مومنتم و پیوستگی
- روابط تجربی در قالب اعداد بی بعد

دو روش اول جزو سرفصل انتقال جرم دوره کارشناسی است.

نکته: ضرایب انتقال جرم نوع  $F$  برای شدت‌های زیاد انتقال جرم و ضرایب انتقال جرم نوع  $k$  برای شدت‌های کم انتقال جرم به کار می‌روند.

روابط مربوط به محاسبه ضرایب انتقال جرم جابه‌جایی معمولاً در قالب روابط‌های میان اعداد بی بعد ارائه می‌شوند:

برای جابه‌جایی اخباری:

$$sh = f(R_e, S_c) \quad (34)$$

و برای جابه‌جایی آزاد:

$$sh = f(G_r, S_c) \quad (35)$$

در روابط فوق عدد  $Sh$  و  $Re$  و  $Sc$  و  $Gr$  به صورت زیر تعریف می‌شوند:

$$Sh = \frac{FL}{CD_{AB}} = \frac{F}{CD_{AB}} = \frac{\text{انتقال جرم حابه‌جانی}}{\text{انتقال جرم ناشی از نفوذ}} \quad (36)$$

$$Re = \frac{\rho u L}{\mu} = \frac{\text{نیروهای اینرسی}}{\text{نیروهای ویسکوز}} \quad (37)$$

$$Gr = \frac{g \left( \frac{\Delta p}{\rho} \right) L^3}{\nu^2} = \frac{\text{نیروی شناوری}}{\text{نیروی ویسکوز}} \quad (38)$$

$$Sc = \frac{\nu}{D_{AB}} = \frac{\mu}{\rho D_{AB}} = \frac{\text{شدت نفوذ مومنتوم}}{\text{شدت نفوذ جرمی}} \quad (39)$$

$$Sc = 0.5 - 2 \quad (40)$$

$$Sc = 100 - 50000 \quad (41)$$

نکته: عدد اشمت (Sc) گازها از مرتبه یک و عدد اشمت مایعات از مرتبه هزار می‌باشد. عدد اشمت حدود 50000 برای مایعات خیلی ویسکوز می‌باشد.

عدد اشمت مشابه اعداد پرانتل  $(Le = \frac{\alpha}{D_{AB}} = \frac{Sc}{Pr})$  و لوئیس  $(Pr = \frac{\nu}{\alpha} = \frac{\mu c_p}{k})$  می‌باشد.

### ۳-۲-۳- تشابه پدیده‌های انتقال جرم، حرارت و سیالات

معادلات بقای جرم، حرارت و مومنتوم به صورت زیر هستند:

$$\frac{\partial C_A}{\partial t} + v \cdot \nabla C_A = D_{AB} \nabla^2 C_A + R_A \quad (42)$$

$$\frac{\partial T}{\partial t} + v \cdot \nabla T = \alpha \nabla^2 T + \frac{\dot{q}}{\rho C_p} + \frac{\Phi}{\rho C_p} \quad (43)$$

$$\frac{\partial v}{\partial t} + v \cdot \nabla v = \nu \nabla^2 v + g - \frac{1}{\rho} \nabla P \quad (44)$$

از مقایسه معادلات فوق مشاهده می‌شود که ساختار روابط فوق دارای شباهت‌های زیادی است لذا در تحت شرایطی این سه پدیده می‌توانند مشابه هم باشند. شرایط تشابه به اختصار عبارتند از:

$$(Pr = Sc = Le = 1) \quad v = \alpha = D_{AB} \quad (45)$$

-۱- اگر جریان در هم باشد ضرایب نفوذ چرخانهای باید با هم برابر باشند.

$$E_D = E_H = E_v \quad (45)$$

$$J_A = -(D_{AB} + E_D) \frac{\partial C_A}{\partial Z} \quad (46)$$

$$q = -(\alpha + E_H) \frac{\partial (\rho C_p T)}{\partial Z} \quad (47)$$

$$\tau = -(v + E_\gamma) \frac{\partial (\rho v)}{\partial Z} \quad (48)$$

نکته: ضرایب نفوذ چرخانه‌ای تابع مسیرند در حالی که  $D_{AB}$  (ضریب نفوذ مولکولی) از خواص فیزیکی سیستم به شمار می‌رود.

نکته: در عمل  $E_D$  و  $E_H$  با هم برابرند اما با  $E_\gamma$  مساوی نیستند.

$$E_D = E_H \neq E_\gamma \quad (\text{در عمل}) \quad (49)$$

لذا هر چند معادله (45) از شروط تشابه است اما در عمل در جریان در هم به دلیل معادله (49) تشابه با سیالات تأمین با خطای خواهد بود.

۳- شرایط مرزی مسئله هم‌نوع باشند (هر دو نوع اول، هر دو نوع دوم یا هر دو نوع سوم باشند)

۴- اعداد  $Re$  در هر سه پدیده برابر باشند.

۵- شکل هندسی در هر سه پدیده مشابه باشند.

۶- تلفات ویسکوز ( $\Phi$ )، تولید گرما ( $q$ )، واکنش شیمیایی ( $R_A$ )، گرادیان فشار ( $\nabla P$ ) و شتاب جاذبه در راستای حرکت ( $g$ ) نداشته باشیم.

۷- شدت انتقال جرم تا حد امکان کم باشد.

نتیجه: در صورتی شرایط ۷ گانه فوق برقرار باشد بی بعد پروفایل‌های سرعت  $\left( \frac{C_A - C_{Aw}}{C_{A\infty} - C_{Aw}} \right)$  و غلظت  $\left( \frac{T - T_w}{T_\infty - T_w} \right)$  و دما  $\left( \frac{u}{u_\infty} \right)$  هم منطبق خواهند بود.

در شرایط تشابه کاربردی چون هدف انطباق پروفایل‌های سرعت، دما و غلظت تیست بلکه هدف محاسبه ضرایب اصطکاک ( $C_f$ )، انتقال حرارت ( $h$ ) و انتقال جرم ( $k$  یا  $\lambda$ ) به کمک هم است لذا ضرورتی ندارد بندهای ۱ و ۴ از شروط هفت‌گانه بالا حتماً صادق باشند. نحوه محاسبه ضرایب انتقال جرم از تشابه با حرارت بدین صورت است که در رابطه مربوط به محاسبه  $h$  به جای  $Nu$  از  $sh$  و به جای  $Pr$  عدد اشمیت را جایگزین می‌کنیم. مثلاً اگر معادله  $Nu$  به صورت زیر باشد

$$Nu = 0.332 Re^{0.5} Pr^{\frac{1}{3}}$$

معادله  $sh$  به صورت زیر خواهد شد:

$$sh = 0.332 Re^{0.5} Sc^{\frac{1}{3}}$$

محاسبه ضرایب انتقال جرم و حرارت از تشابه با سیالات به کمک آنالوژی رینولدز کلبرن انجام می‌شود.

$$J_D = St_D \cdot Sc^{\frac{2}{3}} = \frac{C_f}{2} \quad (50)$$

$$J_H = St_H \cdot Pr^{\frac{2}{3}} = \frac{C_f}{2} \quad (51)$$

$$J_D = J_H = \frac{C_f}{2} \quad (52)$$

در معادلات فوق  $St_D$  و  $St_H$  اعداد استاندون جرمی و حرارتی هستند که به صورت زیر تعریف می‌شوند:

$$St_D = \frac{Sh}{Re.Sc} = \frac{F}{Cu}, St_H = \frac{Nu}{Re.Pr} = \frac{h}{\rho u C_p} \quad (53)$$

نکات مهم این آنالوژی به اختصار عبارتند از:

- ۱-  $C_f$  در این آنالوژی فقط اصطکاک سطحی را شامل می‌شود لذا در مسائی که اصطکاک شکلی داریم (جريان از روی سطوح منحنی) این آنالوژی صادق نیست. در این حالت  $J_D = J_H \neq \frac{C_f}{2}$
- ۲- مطابق این آنالوژی ضرایب  $h$ ،  $k$ ،  $C_f$  با هم رابطه مستقیم دارند و هر چه اصطکاک بیشتر باشد ضرایب انتقال جرم و حرارت هم بیشتر خواهند بود.
- ۳- این آنالوژی در جريان آرام لوله صادق نیست.
- ۴- این آنالوژی در مسائل شار ثابت صادق نیست.

### ۳-۳- تئوری‌های انتقال جرم

یکی دیگر از روش‌های محاسبه ضرایب انتقال جرم استفاده از تئوری‌های انتقال جرم است. در ذیل خلاصه نکات این تئوری‌ها ارائه شده است:

#### ۱- تئوری فیلمی (film)

- برای سطوح جامد - سیال به کار می‌رود. (سطح انتقال جرم آرام است)
- انتقال جرم پایدار فرض می‌شود.
- زمان تماس دو فاز طولانی است.
- ضخامت لایه انتقال جرم بسیار کم باشد.
- بروقایل غلظت خطی است.
- در این تئوری ضریب انتقال جرم به صورت زیر محاسبه می‌شود:

$$F = \frac{D_{AB} C}{Z_F} \quad (54)$$

#### ۲- تئوری رسوخ (Penetration)

- سطح انتقال جرم آشفته است.
- زمان تماس دو فاز کوتاه است.
- مسیر نفوذ طولانی است.
- شرایط ناپایدار است (به علت زمان تماس کم)
- برای سطوح گاز - مایع استفاده می‌شود.
- در این تئوری ضریب انتقال جرم از معادله زیر به دست می‌آید:

$$k_L = 2 \sqrt{\frac{D_{AB}}{\pi \theta}} \quad (55)$$

۰: زمان توقف المان‌های سیال در مجاور فصل مشترک است.

## ۳- تئوری نوشوندگی سطح (Surface Renewall)

- فرضیات این تئوری مشابه تئوری رسوخ است. فقط زمان توقف المان‌های سیال یکسان فرض نمی‌شود.
- در این تئوری ضریب انتقال جرم از معادله زیر به دست می‌آید:

$$k_L = \sqrt{D_{AB} S} \quad (56)$$

$S$  در معادله بالا سرعت نوشندگی سطح است که با ۰ نسبت عکس دارد.

## ۴- تئوری اصلاحی داینیز (ادغام تئوری فیلمی و نوشوندگی)

- این تئوری ادغادم تئوری فیلمی و نوشوندگی است.
- ضریب انتقال جرم در این تئوری از معادله زیر به دست می‌آید:

$$k_L = \sqrt{D_{AB} S} \coth\left(\sqrt{\frac{S Z_b^2}{D_{AB}}}\right) \quad (57)$$

- مطابق این تئوری  $k_L$  متناسب با  $D_{AB}^n$  است که  $n$  بین ۰.۵ تا ۱ است.

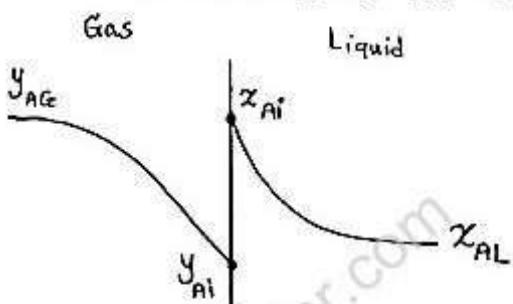
- هنگامی که  $\sqrt{\frac{S Z_b^2}{D_{AB}}}$  عدد کوچکی باشد ( $Z_b$  کم،  $S$  کم و  $D_{AB}$  بزرگ) نتایج این تئوری مشابه تئوری فیلمی است و هنگامی که  $\sqrt{\frac{S Z_b^2}{D_{AB}}}$  عدد بزرگی باشد نتایج این تئوری مشابه تئوری نوشوندگی است.

## ۴- انتقال جرم بین فازها

آنچه تاکنون مورد بررسی قرار گرفت انتقال جرم درون تکفاز بود اما در عملیات انتقال جرم با انتقال اجزاء بین فازها سر و گار داریم که در ادامه به مقاومت‌های هر فاز، ضرایب کلی و محلی انتقال جرم و نیروی محركه پرداخته خواهد شد.

## ۴-۱- انتقال جرم محلی بین دو فاز

در شکل زیر پروفایل غلظت در جذب یک گاز به دورن مایع نشان داده شده است:



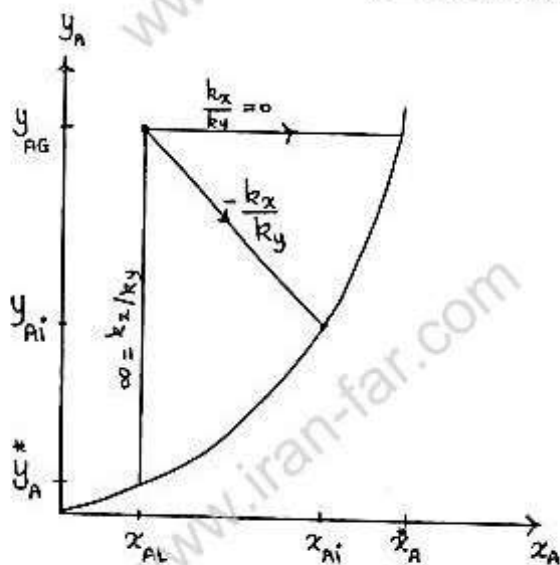
$y_{AG}$  و  $x_{AL}$  غلظت جزء  $A$  در توده گاز و مایع بوده و  $x_{Ai}$  و  $y_{Ai}$  غلظت جزء  $A$  در فصل مشترک مایع و گاز می‌باشد. شار انتقال جرم برای سیستم فوق به صورت زیر قابل بیان است:

$$N_A = k_y (y_{AG} - y_{Ai}) = k_x (x_{Ai} - x_{AL}) \quad (58)$$

که معادله خط نیروی محركه از معادله فوق به صورت زیر محاسبه می‌شود:

$$\frac{y_{AG} - y_{Ai}}{x_{AL} - x_{Ai}} = -\frac{k_x}{k_y} \quad (59)$$

در شکل زیر معادله خط نیروی محرکه نشان داده شده است.



مطلوب شکل بالا در صورتی که تمام مقاومت در فاز مایع باشد نیروی محرکه در فاز مایع برابر  $x_{AL} - x_{AI}$  خواهد بود و در صورتی که تمام مقاومت در فاز گاز باشد نیروی محرکه در فاز گاز برابر  $y_{AG} - y_{AI}$  خواهد بود. در این حالات روابط شار انتقال جرم بر حسب ضرایب کلی انتقال جرم بر مبنای فاز گاز ( $k_x$ ) و مایع ( $k_y$ ) به صورت زیر خواهد شد:

$$N_A = K_x \left( \dot{x}_A - x_{AI} \right) = K_y \left( y_{AG} - \dot{y}_A \right) \quad (60)$$

رابطه میان ضرایب کلی و محلی انتقال جرم به صورت زیر قابل بیان است:

$$\frac{1}{k_y} = \frac{1}{k_x} + \frac{m}{k_x} \quad (61)$$

$$\frac{1}{k_x} = \frac{1}{k_y} + \frac{1}{mk_y} \quad (62)$$

در معادلات بالا تثیب منحنی تعادل است.

معادله (۵۸) به کمک ضرایب انتقال جرم نوع F هم قابل بیان است که در این صورت:

$$N_A = \frac{N_A}{\sum N_i} F_G \ln \left[ \frac{\frac{N_A}{\sum N_i} - y_{AI}}{\frac{N_A}{\sum N_i} - y_{AG}} \right] \quad (63)$$

$$N_A = \frac{N_A}{\sum N_i} F_L \ln \left[ \frac{\frac{N_A}{\sum N_i} - x_{AL}}{\frac{N_A}{\sum N_i} - x_{AI}} \right] \quad (64)$$

معادلات بالا برای حالت  $\sum N_i \neq 0$  صادق است در این حالت معادله نیروی محرکه غیر خطی بوده و به صورت زیر قابل بیان است:

$$\left[ \begin{array}{c} \frac{N_A - y_{Ai}}{\sum N_i} \\ \frac{N_A - y_{AG}}{\sum N_i} \end{array} \right] = \left[ \begin{array}{c} \frac{N_A - x_{AL}}{\sum N_i} \\ \frac{N_A - x_{Ai}}{\sum N_i} \end{array} \right] \frac{F_L}{F_G} \quad (65)$$

$$N_A = F_G (y_{AG} - y_{Ai}) \quad (66)$$

$$N_A = F_L (x_{Ai} - x_{AL}) \quad (67)$$

$$\frac{y_{AG} - y_{Ai}}{x_{AL} - x_{Ai}} = - \frac{F_L}{F_G} \quad (68)$$

مشابه معادلات (۶۱) و (۶۲) در صورتی که  $\sum N_i = 0$  باشد رابطه بین ضرایب کلی و محلی نوع F قابل ارائه به صورت زیر است:

$$\frac{1}{F_{oG}} = \frac{1}{F_G} + \frac{m}{F_L} \quad (69)$$

$$\frac{1}{F_{oL}} = \frac{1}{F_L} + \frac{1}{mF_G} \quad (70)$$

### ۳-۴- تعیین سهم مقاومت هر فاز در مقابل انتقال جرم

سهم فازهای گاز و مایع از مقاومت کلی در مقابل انتقال جرم در قالب روابط زیر بیان می‌شود:

$$\frac{1}{\frac{1}{K_y} \times 100} = \frac{1}{1 + \frac{mk_y}{k_x}} \times 100 = \text{درصد مقاومت فاز گاز} \quad (71)$$

$$\frac{1}{\frac{1}{K_x} \times 100} = \frac{1}{1 + \frac{k_x}{mk_y}} \times 100 = \text{درصد مقاومت فاز مایع} \quad (72)$$

رابطه فوق نشان می‌دهد که مقاومت هر فاز تابع دو عامل m (شبی منحنی تعادل) و  $\frac{k_x}{k_y}$  می‌باشد.

نکات بحث مقاومت‌ها به اختصار عبارتند از:

- در حالتی که  $k_x \approx k_y$  باشد مقاومت فقط تابع m است. لذا اگر m زیاد باشد فاز مایع کنترل‌کننده انتقال جرم است و اگر m کم باشد فاز گاز کنترل‌کننده انتقال جرم است.

از تقسیم معادلات (۷۲) و (۷۱) بر هم نسبت مقاومت مایع به گاز به دست می‌آید:

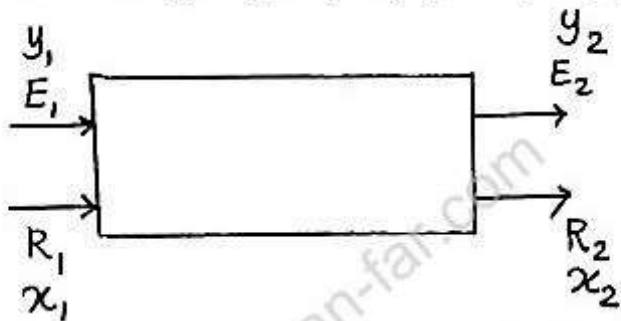
$$\frac{mk_y}{k_x} = \text{نسبت مقاومت مایع به گاز} \quad (73)$$

- اگر در مسئله‌ای هم m و هم نسبت  $\frac{k_x}{k_y}$  معلوم باشد درصد مقاومت هر فاز به طور دقیق قابل تعیین است. در این نوع از مسائل مقایسه کمی به مقایسه کیفی ارجح است.

- رابطه  $K_x = mK_y$  همواره صادق است اما معادله  $mk_y = k_x$  فقط در صورتی که مقاومت دو فاز برابر باشد صادق است.

#### ۴-۴- انتقال جرم در جریان همسو (co-current)

مطابق شکل زیر انتقال جزء A بین دو فاز E (فاز سیک) و فاز R (فاز سنگین) نشان داده شده است.



از موازنی جرم برای فرآیند همسوی فوق معادله خط کار این جریان به دست می‌آید:

$$\frac{Y_2 - Y_1}{X_2 - X_1} = -\frac{R_s}{E_s} \quad (74)$$

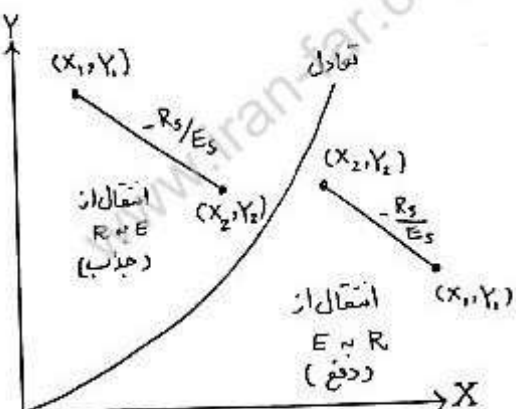
$$X = \frac{x}{1-x}, \quad Y = \frac{y}{1-y} \quad (75)$$

$E_s$  و  $R_s$  در معادلات بالا شدت جریان اجزاء غیر نفوذی فازهای R و E می‌باشد.

$$R_s = R_1(1-x_1) = R_2(1-x_2) \quad (76)$$

$$E_s = E_1(1-y_1) = E_2(1-y_2) \quad (77)$$

در شکل زیر معادله خط کار فوق رسم شده است:

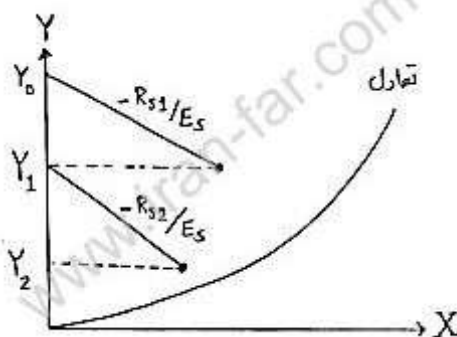
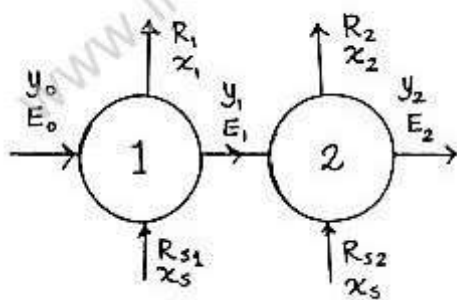


نکته: فرآیندهای ناپیوسته (Batch) به عنوان یک فرآیند همسو محسوب می‌شوند که در آنها  $(X_1, Y_1)$  غلظت‌ها در ابتدای فرآیند و  $(X_2, Y_2)$  غلظت‌های دو فاز در انتهای فرآیند می‌باشند.

در فرآیند همسو نیروی محرک در طول فرآیند کاهش می‌یابد و این فرآیند حداقل یک مرحله تعادلی می‌تواند باشد.

#### ۴-۵- انتقال جرم در جریان متقاراطع (Cross-current)

معادلات خط کار در جریان‌های متقاراطع مشابه جریان همسو می‌باشد. در شکل‌های زیر شماتیک جریان و خطوط کار برای فرآیند متقاراطع دو مرحله‌ای که در آن انتقال از E به R انجام می‌شود نشان داده شده است.



در شکل فوق  $s = 0$  فرض شده است و مراحل غیر تعادلی‌اند. کل مقدار حلال مصرفی در هر دو مرحله از معادله زیر به دست می‌آید:

$$R_{s1} + R_{s2} = -E_s \left[ \frac{Y_1 - Y_0}{X_1 - X_s} + \frac{Y_2 - Y_1}{X_2 - X_s} \right] \quad (78)$$

در صورتی که منحنی تعادل خطی باشد ( $Y = mX$ ) ، مراحل تعادلی باشند و حلال خالص باشد با مشتق گرفتن از معادله فوق نسبت به  $Y_1$  شرایطی را که در آن مجموع حلال مصرفی در هر دو مرحله حداقل باشد به صورت زیر به دست می‌آید:

$$Y_1 = \sqrt{Y_0 Y_2} \quad (79)$$

$$R_{s1} = R_{s2} = E_s \left[ \frac{\sqrt{Y_0 Y_2} - Y_0}{\frac{\sqrt{Y_0 Y_2}}{m}} \right] \quad (80)$$

اشکال و روابط مشابهی برای حالت انتقال از  $R$  به  $E$  (دفع) قابل ارائه است.

#### ۴-۶- انتقال جرم در جریان ناهمسو (counter current)

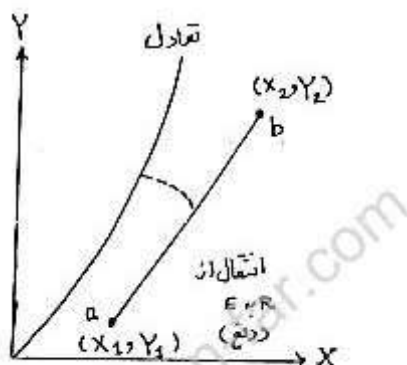
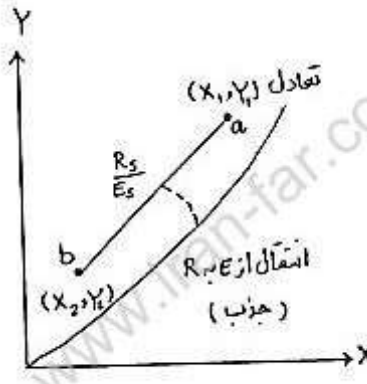
در شکل زیر شماتیک جریان ناهمسو ارائه شده است.



در این سیستم معادله خط کار به صورت زیر خواهد بود:

$$\frac{Y_2 - Y_1}{X_2 - X_1} = \frac{R_s}{E_s} \quad (81)$$

در شکل های زیر معادلات خطوط کار، تعادل و نیروی محرکه در جریان ناهمسو برای دو حالت انتقال از E به R (جذب) و انتقال از R به E (دفع) آرائه شده است.



در اشکال فوق خط چین نشان دهنده منحنی نیروی محرکه در موضعی خاصی از برج بوده و نقاط a و b به ترتیب پایین و بالای برج را نشان می دهند.

نکته: اگر خط کار فوق در صفحه xy (کوچک) رسم می شد به صورت منحنی در می آمد.

در جریان ناهمسو یک نیروی محرکه قابل قبول در سرتاسر دستگاه وجود دارد. مزیت دیگر این فرآیند چند مرحله‌ای بودن آن است. محاسبه حداقل حلال در جریان ناهمسو در فرآیند جذب (انتقال از E به R) از معادله زیر و با فرض تلاقی خط کار و منحنی تعادل امکان‌پذیر است. در این حالت مابع خروجی از پایین برج (X1) در تعادل با گاز ورودی فرض می شود:

$$R_{s_{min}} = -E_s \left( \frac{Y_2 - Y_1}{X_2 - X_{1_{eq}}} \right) \quad (82)$$

در معادله بالا  $X_{1_{eq}}$  در تعادل با  $Y_1$  فرض می شود (مثلاً  $X_{1_{eq}} = \frac{Y_1}{m}$ ) در حالتی که انتقال از R به E انجام می شود. حداقل حلال از معادله زیر به دست می آید. در این حالت گاز خروجی از بالای برج (Y2) در تعادل با مابع ورودی فرض می شود:

$$E_{s_{min}} = \left[ \frac{-R_s}{\frac{Y_{2_{eq}} - Y_1}{X_2 - X_1}} \right] \quad (83)$$

در معادله بالا  $Y_{2_{eq}}$  در تعادل با  $X_2$  فرض می شود (مثلاً  $y_{2_{eq}} = mX_2$ )

### ۴-۷- محاسبه عدد مراحل تئوری در جریان ناهمسو

در جریان ناهمسو و تحت شرایط ذیل:

- فقط یک جزء بین دو فاز مبادله شود.

- خطوط تعادل و تبادل هر دو خطی باشند.

از معادله کرمسر عدد سینی‌های تئوری قابل محاسبه هستند:

$$N_p = f \left[ Y_{N_p+1}, Y_1, X_0, m, A \right] \quad (84)$$

$$N_p = f \left[ Y_{N_p+1}, X_0, X_{N_p}, m, S \right] \quad (85)$$

معادلات ۸۴ و ۸۵ معادله کرمسر برای حالات انتقال از E به R (جذب) و انتقال از R به E (دفع) می‌باشد.  $X_0$  و  $X_{N_p}$  غلظت A در مایع در بالا و پایین برج می‌باشند و  $Y_1$  و  $Y_{N_p+1}$  غلظت A در گاز ورودی و خروجی می‌باشد.

$$\frac{R_s}{E_s} = \frac{\text{ثیب خط کار}}{m} = A \quad \text{فاکتور جذب} \quad (86)$$

$$S = \frac{m}{R_s} = \frac{\text{ثیب خط تعادل}}{\text{ثیب خط کار}} \quad \text{فاکتور دفع} \quad (87)$$

در جذب با افزایش فاکتور جذب (A) (دور شدن خطوط تبادل و تعادل از هم) عدد مراحل تئوری کاهش می‌یابد. در دفع با افزایش فاکتور دفع (S) عدد مراحل تئوری کاهش می‌یابد.

در حالتی که فاکتور جذب برابر یک باشد ( $A = 1$ ) ، خطوط تبادل و تعادل موازی‌اند و نیروی محرکه در طول برج ثابت می‌ماند. نکته: از معادله کرمسر برای محاسبه عدد مراحل در فرآیندی مثل تقطیر نمی‌توان استفاده کرد چون در تقطیر فرض انتقال یک جزء بین دو فاز معتبر نیست.

### ۵- دستگاه‌های گاز مایع

دستگاه‌های گاز - مایع به دو دسته اصلی تقسیم می‌شوند. دستگاه‌هایی که در آنها گاز پراکنده می‌شود و دستگاه‌هایی که در آنها مایع پراکنده می‌شود. دستگاه‌هایی که در آنها گاز پراکنده می‌شود عبارتند از:

۱- برج‌های سینی‌دار (Tray Tower)

۲- مخازن مولد حباب

۳- مخازن همزن‌دار

و دستگاه‌هایی که در آنها مایع پراکنده می‌شود عبارتند از:

۱- شستشوده‌نده و انتوری

۲- برج‌های دیواره مرطوب (Wetted Wall Tower)

۳- برج‌های پاششی (Spray Tower)

۴- برج‌های پر شده

در ادامه خلاصه نکات مهم هر یک از این دستگاه‌ها ارائه می‌شود.

## ۵-۱- مخازن مولد حباب

در این مخازن گاز پس از عبور از یک دستگاه مولد حباب (spurger) به صورت حباب در می‌آید. مهم‌ترین کاربرد این دستگاه‌ها در فرآیندهایی است که:

- در فاز مایع جزء جامد داریم.
- یک واکنش شیمیایی بین گاز و مایع انجام می‌شود.

مثل هواهی فرماتورها، کلرینه کردن خمیر گاغذ، کربناتسیون دوغاب آهک و هیدروژناتسیون روغن نباتی، سطح ویژه انتقال جرم (سطح به ازای واحد حجم) در این دستگاه‌ها از معادله زیر به دست می‌آید:

$$a = \frac{6\Phi_G}{dp} \quad (88)$$

که در معادله بالا  $a$ : سطح ویژه،  $\Phi_G$ : ماندگی گاز در مایع (یا کسری از حجم که توسط گاز اشغال شده است) و  $dp$ : قطر حباب‌های گاز است.

در این دستگاه مقاومت اصلی در مقابل انتقال جرم در فاز مایع است (چون گاز پراکنده شده است).

## ۵-۲- مخازن همزن دار

کاربرد مخازن همزن دار مشابه مخازن مولد حباب است. فقط در این دستگاه برای ایجاد اختلاط مناسب در فاز مایع از همزن استفاده می‌شود. هر چند همزن مقاومت فیلمی مایع را کاهش می‌دهد اما دلیل اصلی استفاده از همزن همان ایجاد اختلاط مناسب است. توان همزن مورد استفاده در این مخازن در قالب رابطه زیر که بین اعداد بی بعد سیستم نوشته شده، ارائه می‌شود:

$$P_o = f(Re, We, Fr) \quad (89)$$

که در معادله بالا  $P_o$  : عدد توان،  $Re$  : عدد رینولدز،  $We$  : عدد فرود و  $Fr$  : عدد توان همزن همچنین  $N$  و  $d$  به ترتیب توان همزن، دور همزن و قطر همزن می‌باشند. و بر  $We = \frac{\rho N^2 d^2}{\sigma}$  می‌باشد.

نکته: توان همزن زمانی به عدد فرود ( $Fr$ ) بستگی دارد که در مخزن پدیده vortex داشته باشیم. بنابراین در مخازن مجهز به بافل این عدد نقشی در محاسبه توان همزن ندارد.

نکته: عدد  $We$  زمانی در محاسبه توان همزن نقش دارد که اختلاط دو فازی در مخزن انجام شود. (مثل اختلاط گاز - مایع)

نکته: در جریان آرام عدد توان با عدد رینولدز نسبت عکس دارد  $\left( P_o = \frac{f}{Re} \right)$  ولی در جریان در هم عدد توان مستقل از  $Re$  است. تزریق گاز به درون مخزن باعث کاهش توان مورد نیاز برای اختلاط می‌شود.

### ۳-۵- برج‌های سینی دار

در این برج‌ها گاز از طریق روزنه‌های ایجاد شده روی سینی به صورت حباب درون فاز مایع پراکنده می‌شود. در این برج‌ها Weir (بند) باعث ایجاد عمق مناسب روی سینی می‌شود. مایع پس از طی سینی از روی بند به درون Down Comer وارد می‌شود. از انتقال جرم بین گاز و مایع درون مجرای ریزش مایع در مقایسه با انتقال جرم روی سینی صرف‌نظر می‌شود. چون جریان‌های گاز و مایع خروجی از سینی تقریباً به حالت تعادلی نزدیک هستند.

سینی‌ها برج به صورت شبیدار نصب می‌شوند تا مایع روی سینی به خوبی حرکت کند. از دیاد بیش از حد این شبیب باعث توزیع نایکنواخت حباب‌های گاز در مایع می‌شود.

ماندگی گاز در مایع در برج‌های سینی دار حدود ۱۵-۵% حجمی است. فاصله منافذ روی سینی حدود ۲ تا ۳ برابر قطر این منافذ است. این امر برای ایجاد سطح انتقال جرم تا حد امکان زیاد و نیز جلوگیری از به هم چسبیدن حباب‌های گاز است. پدیده‌های نامطلوب در برج‌های سینی دار به شرح ذیل هستند:

#### ۱- پدیده ماندگی (Entrainment)

ماندگی عبارت است از مقدار مایعی که توسط گاز از سینی‌های زیرین به سینی‌های فوقانی حمل می‌شود. ماندگی در تمام دستگاه‌هایی گاز - مایع اتفاق می‌افتد. وقوع پدیده ماندگی باعث کاهش نیروی محركه در برج و لذا کاهش راندمان سینی می‌شود.

#### ۲- پدیده انسداد (priming)

این پدیده حالت حاد پدیده ماندگی است که در آن به علت کفرزا بودن محلول ماندگی مایع در گاز بسیار قابل توجه است. در این حالت هم به علت کاهش نیروی محركه راندمان سینی کم می‌شود.

#### ۳- پدیده مخروطی شدن (coning)

در این پدیده گاز با سرعت از درون مایع عبور می‌کند و به جای آنکه درون فاز مایع پراکنده شود، درون این فاز ایجاد مجزا نموده و بدون ایجاد تماس مناسب سینی را ترک می‌کند.

#### ۴- پدیده طغیان (Flooding)

طغیان یک اشکال مکانیکی است که در آن به علت عدم تناسب سطح مقطع برج با فلوریت‌های عبوری افت فشار گاز در سینی بالا می‌رود. افزایش افت فشار باعث بالا رفتن سطح مایع درون Down Comer می‌شود. در حالت حاد مایع از درون Down Comer به سینی فوقانی بازگردانده می‌شود. این پدیده باعث کاهش قابل توجه راندمان سینی می‌شود.

#### ۵- پدیده چکه (Weeping)

در این حالت به علت سرعت کم گاز بخشی از مایع از درون منافذ سینی چکه می‌کند.

#### ۶- پدیده بارش (Dumping)

در این پدیده به دلیل سرعت خیلی کم گاز بارش پیوسته مایع از درون منافذ سینی چکه می‌افتد.

افت فشار در برج‌های سینی دار نسبت حداقل شدت جریان عبوری از سینی Turn down Ratio گفته می‌شود. این نسبت برای سینی‌های فنجانی (Bubble Cap) در حدود (12 - 10) و برای سینی‌های دریجه‌ای (Valve Tray) در حدود (5 ~ 6) و برای سینی‌های مشبک (Sieve Tray) در حدود (3 - 2) است. هر چه این نسبت بزرگتر باشد انعطاف‌پذیری فرآیندی برج بالاتر است.

راندمان سینی مطابق معادله زیر بیان می‌شود:

$$E_{0G} = 1 - \exp \left[ -\frac{k_y a h_L}{G'} \right] \quad (10)$$

که در معادله بالا  $a$  : سطح ویژه حباب‌ها،  $h_L$  : عمق مایع روی سینی و  $G'$  : شدت جریان ظاهری گاز است.

نکته : مطابق معادله فوق با افزایش سطح حباب‌ها و عمق مایع روی سینی، راندمان سینی افزایش می‌یابد.

نکته : راندمان مورفری تنها راندمانی است که می‌تواند از ۱۰۰% بیشتر باشد. این امر به دلیل تعریف خاص راندمان مورفری است و به معنی انجام انتقال جرم فراتر از شرایط تعادلی نیست.

نوع ساده‌تری از راندمان به صورت نسبت عده سینی‌های تثویری به عده سینی‌های واقعی بیان می‌شود.

#### ۴-۵- شستشو دهنده و انتوری

در این دستگاه مایع پراکنده می‌شود کاربرد این دستگاه زمانی است که در فاز مایع جزء جامد داشته باشیم و علاوه بر وجود واکنش شبیه‌ای بین گاز و مایع افت فشار کم گاز هم مورد نظر باشد. (مثل حذف  $SO_2$  از گازهای خروجی توسط دوغاب آهک، وقتی افت فشار کم گاز مورد نظر باشد)

#### ۵-۵- برج‌های دیواره مرتبط

در این برج‌ها مایع به صورت فیلم از جداره برج جریان می‌یابد و در مرکز برج گاز جریان دارد. رابطه نرخ و شار تبادل جرم در این برج به صورت زیر است:

$$G_A = \bar{N}_A \cdot \pi D H \quad (91)$$

که  $D$  و  $H$  به ترتیب قطر و ارتفاع این برج می‌باشد.

در این برج‌ها سطح انتقال جرم به دقت قابل اندازه‌گیری است (مناسب فعالیت‌های تحقیقاتی) و افت فشار گاز نیز کم است. خنکسازی مایع در این برج از بقیه دستگاه‌های گاز مایع آسان‌تر است لذا مهم‌ترین کاربرد این دستگاه‌ها در فرآیندهای جذب گرمایی توأم با واکنش شبیه‌ای است (مثل جذب اسید کلریدریک) و مهم‌ترین مشکل این دستگاه‌ها توزیع یکنواخت مایع به صورت فیلم است.

#### ۵-۶- برج‌های پاششی

در این دستگاه‌ها مهم‌ترین مشکل حفظ سطح انتقال جرم ایجاد شده توسط قطرات مایع در ارتفاع زیاد است. به همین دلیل در این دستگاه‌ها نمی‌توان به عده مراحل تثویری بالایی دست یافت. لذا این دستگاه‌ها برای فرآیندهایی مثل تقطیر و جذب و دفع که به مراحل تثویری بالایی نیاز دارند مناسب نیست.

مهم‌ترین کاربرد این دستگاه‌ها در فرآیند خشک کردن مواد غذایی و دارویی حساس به دماست.

#### ۵-۷- برج‌های پر شده

در این برج‌ها توسط پرکن‌های جامدی که درون برج قرار گرفته‌اند سطح تماس بالای مایع و گاز ایجاد می‌شود. مایع سطح پرکن‌ها را مرتبط نموده و به صورت فیلم نازکی شکل پرکن را به خود می‌گیرد. سطح ویژه پرکن‌ها از معادله زیر به دست می‌اید:

$$a = \frac{6(1-\epsilon)}{d_p} \quad (92)$$

در معادله بالا  $\epsilon$  : تخلخل بستر و  $d_p$  : قطر پرکن‌ها می‌باشد. پرکن‌ها دارای شکل‌های مختلفی همانند حلقه‌های راشیگ، لسینگ، زین اسپی و پال می‌باشند. حلقه‌های راشیگ ساده‌ترین پرکن‌ها هستند و کم‌ترین سطح ویژه را در مقایسه با سایر پرکن‌ها دارند.

نکته: در جذب و دفع و تقطیر، جنس پرکن باید به گونه‌ای باشد که سطح آن به خوبی توسط فاز پراکنده (مایع) مرتبط شود. اما در استخراج که هر دو فاز مایع هستند سطح پرکن باید به گونه‌ای باشد که به خوبی توسط فاز پیوسته مرتبط شود.

پرکن‌ها به دو صورت تصادفی و منظم می‌توانند در برج نصب شوند. در چیدمان منظم پرکن‌ها افت فشار کمتر بوده ولی هزینه‌های نصب پرکن بیشتر است. در برج‌ها برای جلوگیری از کاتالیز شدن جریان و توزیع مناسب مایع روی سطح پرکن‌ها از توزیع کننده‌های مایع باید استفاده شود. به ازای هر ۶ الی ۷ متر ارتفاع برج توزیع مجدد مایع باید انجام شود. برای پیش‌گیری از کاتالیز شدن جریان و کشیده شدن جریان مایع به سمت دیواره‌ها لازم است قطر پرکن‌ها حداقل از  $\frac{1}{8}$  قطر برج کمتر باشد. هر چند در عمل توصیه می‌شود قطر پرکن‌ها بین

$$\frac{1}{15} \text{ تا } \frac{1}{10} \text{ قطر برج باشد.}$$

نکته: برای بازیابی قطرات مایع همراه گاز در برج‌های پر شده، معمولاً از یک بستر خشک به ارتفاع حدود یک متر در بالای محل ورود مایع استفاده می‌شود.

افت فشار در بسترهای پر شده حدود  $\frac{pa}{m} \sim 400$  برای برج‌های جذب و دفع و حدود  $\frac{pa}{m} \sim 600$  برای برج‌های تقطیر اتمسفریک می‌باشد. در فرآیندهای تحت خلاء این افت فشار به حدود  $\frac{pa}{m} \sim 40$  می‌رسد که مقدار بسیار کوچکی است به همین دلیل این برج‌ها برای فرآیندهای تحت خلاء توصیه می‌شوند.

در برج‌های پر شده موجودی مایع درون بستر (Liquid Hold Up) به دو صورت موجودی مایع ساکن (Static Liquid Hold Up) و موجودی مایع متحرک (Dynamic Liquid Hold Up) می‌باشد.

$$\Phi_{LH} = \Phi_{1,5} + \Phi_{1,0} \quad (93)$$

$\Phi_{1,5}$  و  $\Phi_{1,0}$  به ترتیب موجودی مایع کلی، ساکن و دینامیک بستر است.

نکته: در فرآیندهایی که مقاومت در هر دو فاز مایع و گاز توزیع شده (مثل جذب و دفع و تقطیر) باید موجودی مایع ساکن برج به حداقل رسانده شود. این کار با چیدمان منظم پرکن‌ها و کار در ناحیه Loading امکان‌پذیر است. اما در فرآیندهایی که مقاومتی در فاز مایع وجود ندارد (مثل تبخیر یا میعان مایع خالص به درون گاز) استاتیکی یا دینامیکی بودن موجودی مایع اهمیتی ندارد.

## ۵-۸- مقایسه برج‌های پر شده و سینی‌دار

۱- افت فشار در برج پر شده کمتر از برج‌های سینی‌دار است.

۲- موجودی مایع در برج‌های سینی‌دار بیشتر از برج‌های پر شده است.

۳- در سینی‌دار کمتر از پر شده است.

۴- خنکسازی مایع در سینی‌دار بهتر از پر شده انجام می‌شود اما دیواره مرتبط از هر دوی اینها بهتر است.

۵- گرفتن جریان جانی در سینی‌دار آسانتر از پر شده انجام می‌شود.

۶- برج‌های پر شده برای محلول‌های کفزا مناسب‌تر هستند.

۷- در صورتی که جزء، جامد در فاز مایع حضور داشته باشد هیچکدام از این برج‌ها مناسب نیستند.

۸- تمیز کردن برج‌های سینی‌دار آسانتر از پر شده است.

- ۹- در برج هایی که نوسانات شدید دمایی وجود داشته باشد پرکن های سرامیکی، گرافیتی یا پلاستیکی شکسته می شوند یا تغییر شکل می دهند. لذا در این حالت مناسب است از برج سینی دار یا برج پر شده با پرکن فلزی استفاده شود.
- ۱۰- برای سیالات خورنده برج پر شده مناسب تر است.
- ۱۱- وزن برج پر شده کمتر از سینی دار است.
- ۱۲- در صورتی که پرکن های مورد استفاده از شکل های خیلی خاص نباشند هزینه برج های پر شده کمتر از سینی دار است.

## بخش دوم

### عملیات واحد ۱

#### ۶- فرآیند جذب و دفع گازی

انتقال یک جزء از گاز به مایع را جذب (Absorption) می‌گویند. انتقال یک جزء از مایع به گاز دفع (Stripping) نامیده می‌شود.

نکته: جذب در دمای پایین و فشار بالا بهتر انجام می‌شود در حالی که دفع در دمای بالا و فشار پایین بهتر انجام می‌شود.

جذب فرآیندی گرمایش است در حالی که دفع فرآیندی گرمایش نیست. در برج جذب اگر خنکسازی مایع انجام نشود از بالا به پایین برج دما افزایش می‌یابد و لذا نیروی محركه انتقال جرم کاهش می‌یابد. از این رو سرعت انتقال جرم در پایین برج به علت تزدیک شدن خطوط تعادل و تبادل به هم، کم می‌شود. به همین دلیل عده سینی‌ها و ارتفاع یک برج جذب غیر همدما بیشتر از یک برج جذب همدماست.

نکته: الگوی تماس ناهمسو بهترین الگوی جویان در فرآیندهای جذب و دفع است. اما اگر جذب توان با واکنش سریع باشد فرآیند همسو ارجح به فرآیند ناهمسو است.

#### ۶-۱- محاسبه ارتفاع برج‌های جذب و دفع دیفرانسیلی

$$Z = H_{IG} \cdot N_{IG} \quad (۹۴)$$

$$H_{IG} = \frac{G'}{F_G \cdot a} \quad (۹۵)$$

$$\begin{aligned} N_{IG} &= \int_{y_i}^{y_2} \frac{(1-y)_{iM}}{(1-y)(y-y_i)} dy \\ &\approx \int_{y_i}^{y_2} \frac{dy}{y-y_i} + \frac{1}{2} L_n \frac{1-y_2}{1-y_1} \\ &\approx \frac{y_1 - y_2}{(y-y_i)_M} \end{aligned} \quad (۹۶)$$

در معادلات فوق  $H_{tG}$ : ارتفاع معادل یک واحد تئوری (یا HETP) است و  $N_{tG}$ : عدد واحدهای انتقال است و  $Z$ : ارتفاع برج دیفرانسیلی است.

نکته: هر چه سطح ویژه پرکن بیشتر باشد HETP (ارتفاع معادل یک واحد تئوری) آن کوچکتر خواهد بود. حلقه‌های راشینگ دارای بزرگترین مقدار HETP بین همه پرکن‌ها هستند چون کمترین سطح ویژه را دارند.

عدد واحدهای انتقال ( $N_{tG}$ ) به فاکتور جذب (نسبت شب خطکار به شب خط تعادل) و میزان جداسازی موردنظر ( $y_2 - y_1$ ) دارد. در معادلات فوق  $y_1$  و  $y_2$  به ترتیب کسر مولی جزء منتقل شونده در ورودی و خروجی دستگاه است.

نکته: در یک برج جذب توانم با واکنش شیمیایی سریع که در آن گاز با کسر مولی  $y_a$  وارد و با کسر مولی  $y_b$  خارج می‌شود عدد واحدهای انتقال به صورت زیر قابل محاسبه است (غلظت در فصل مشترک گاز و مایع به علت واکنش سریع صفر فرض می‌شود).

$$N_{tG} = \frac{(y_a - y_b)}{(y_a - 0) - (y_b - 0)} = \ln \left( \frac{y_a}{y_b} \right) \quad (97)$$

$$= \ln \frac{y_a - 0}{y_b - 0}$$

معادله (۹۴) در صورت استفاده از ضرائب انتقال جرم فاز مایع یا ضرائب کلی انتقال جرم به صورت‌های زیر هم قابل بازنویسی است:

$$Z = H_{tL} \cdot N_{tL}, \quad H_{tL} = \frac{L'}{F_L \cdot a} \quad (98)$$

$$Z = H_{tG} \cdot N_{tG}, \quad H_{tG} = \frac{G'}{F_G \cdot a} \quad (99)$$

$$Z = H_{tL} \cdot N_{tL}, \quad H_{tL} = \frac{L'}{F_L \cdot a} \quad (100)$$

در برج‌های پر شده (یا  $H_{tG}$  یا  $H_{tL}$  ... ) ارتفاعی از برج پرشده است که در آن جداسازی معادل یک واحد تئوری انجام می‌شود. شار انتقال جرم در یک مقطع خاص از یک برج دیفرانسیلی به صورت زیر قابل بیان است:

$$N_A = \mp \frac{d(Gy)}{A adZ} = \mp \frac{d(G'y)}{adZ} = \mp \frac{G'dy}{(1-y)adZ} \quad (101)$$

در معادله بالا  $G$ : شدید جریان گاز،  $G'$ : شدت جریان ظاهری گاز،  $A$ : سطح مقطع برج،  $a$ : سطح ویژه و  $y$ : کسر مولی جزء منتقل شونده در گاز است.

علامت (-) یا (+) در معادله بالا به ترتیب برای جذب و دفع استفاده می‌شود.

## ۷ - تقطیر

در تقطیر جداسازی براساس اختلاف نقاط جوش اجزاء انجام می‌شود. تقطیر در دسته فرآیندهای مستقیم قرار می‌گیرد چرا که برای جداسازی اجزاء صرفاً از گرفتن و دادن گرمای استفاده می‌شود.

## ۱-۷- تعادلات بخار مایع در تقطیر

برای محلول‌های ایده‌آل که فاز مایع آنها از قانون رانولت پیروی می‌کند می‌توان نوشت:

$$P_A = x_A P_A^{\text{sat}} \quad (1.02)$$

$$P_B = x_B P_B^{\text{sat}} \quad (1.03)$$

$$P_t = P_A + P_B \quad (1.04)$$

در معادلات بالا  $P_A$  و  $P_B$  فشار بخار A و B در محلول هستند و  $P_A^{\text{sat}}$  و  $P_B^{\text{sat}}$  فشار بخار A و B به صورت خالص می‌باشد. از معادلات فوق داریم:

$$x_A = \frac{P_t - P_B^{\text{sat}}}{P_A^{\text{sat}} - P_B^{\text{sat}}} \quad (1.05)$$

برای محلول‌های ایده‌آل با فرض آنکه فاز بخار هم از قانون گازهای ایده‌آل پیروی کند (قانون دالتون) می‌توان نوشت:

$$y_A = \frac{P_A}{P_t} = \frac{x_A P_A^{\text{sat}}}{P_t} \quad (1.06)$$

$$y_B = \frac{P_B}{P_t} = \frac{x_B P_B^{\text{sat}}}{P_t} \quad (1.07)$$

روابط تعادلی بخار - مایع به کمک k-value ها هم قابل نوشن است:

$$k_A = \frac{y_A}{x_A} \quad (1.08)$$

$$k_B = \frac{y_B}{x_B} \quad (1.09)$$

$$y_A + y_B = 1 \quad (1.10)$$

$$x_A = \frac{1 - k_B}{k_A - k_B} \quad (1.11)$$

برای محلول‌های ایده‌آل:

$$k_A = \frac{x_A P_A^{\text{sat}} / P_t}{x_A} = \frac{P_A^{\text{sat}}}{P_t} \quad (1.12)$$

با توجه به معادله بالا k-value تابعی است از دما (رابطه مستقیم) و فشار (رابطه عکس) و نوع ماده. هر چه k یک ماده بیشتر باشد آن ماده فرارتر است. روابط تعادلی بخار مایع بر حسب ضریب فراریت نسبی ( $\alpha_{AB}$ ) هم قابل بیان است:

$$\alpha_{AB} = \frac{\begin{pmatrix} y_A \\ y_B \end{pmatrix}}{\begin{pmatrix} x_A \\ x_B \end{pmatrix}} \quad (1.13)$$

برای محلول‌های ایده‌آل:

$$\alpha_{AB} = \frac{P_A^{\text{sat}}}{P_B^{\text{sat}}} \quad (1.14)$$

در صورتی که  $\alpha$  ثابت باشد معادله منحنی تعادل به صورت زیر قابل ارائه است:

$$y = \frac{\alpha x}{1 + (\alpha - 1)x} \quad (1.15)$$

هم‌چنین  $\alpha$  معیاری است برای تعیین درجه دشواری یا سهولت جداسازی به کمک تقطیر:

$$\alpha < 1.1$$

قطیر ممکن نیست

$1.1 < \alpha < 3.5$  $3.5 < \alpha < 10$  $10 < \alpha$ 

تقطیر دشوار است

تقطیر آسان است

تبخیر

## ۲-۷- محاسبه دمای حباب و شبتم

اگر مایعی با غلظت  $Z_F$  (از جزء فرار) حرارت داده شود در دمای حباب (Bubble Point) اولین حباب بخار ظاهر می‌شود. این بخار در تعادل با مایعی با غلظت  $Z_F$  است لذا در نقطه حباب می‌توان نوشت:

$$\sum Z_{iF} k_i = 1 \quad (116)$$

$Z_F$ : کسر مولی جزء آ در خوراک اولیه است. در صورتی که محلول ایده‌آل باشد می‌توان نوشت:

$$\sum Z_{iF} \frac{P_i^{\text{sat}}}{P_t} = 1 \quad (117)$$

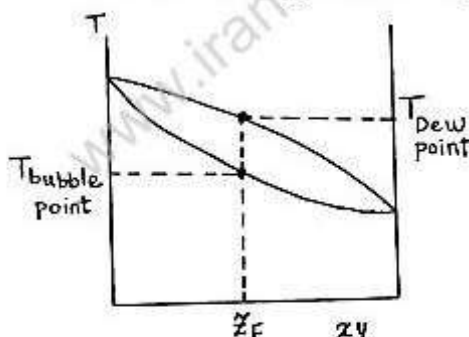
دمای شبتم دمایی است که اگر خوراکی را سرد کنیم در این دما اولین قطره مایع حاصل می‌شود. اگر کسر مولی جزء فرار در خوراک  $Z_F$  باشد اولین قطره مایع حاصله در تعادل با این بخار با غلظت  $Z_F$  خواهد بود. در نقطه شبتم می‌توان نوشت:

$$\sum \frac{Z_{iF}}{k_i} = 1 \quad (118)$$

در صورتی که محلول ایده‌آل باشد می‌توان نوشت:

$$\sum \frac{Z_{iF}^{\text{sat}}}{\frac{P_i}{P_t}} = 1 \quad (119)$$

در شکل زیر دمای حباب و دمای شبتم به صورت شماتیک نشان داده شده است.



همان‌طور که از نمودار فوق ملاحظه می‌شود، دمای جوش محلول بین دمای حباب و دمای شبتم است.

با توجه به شکل فوق و نیز معادلات (116) و (118) می‌توان نوشت:

- محلول به صورت مایع سرد است. اگر  $\sum Z_{iF} k_i < 1$

- محلول در دمای حباب است. اگر  $\sum Z_{iF} k_i = 1$

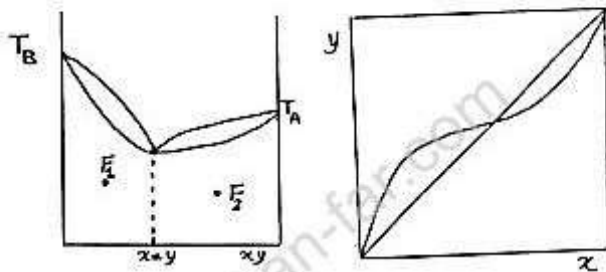
- محلول دو فازی است. اگر  $\sum Z_{iF} k_i > 1$  &  $\sum \frac{Z_{iF}}{k_i} > 1$

- محلول در دمای شبتم است. اگر  $\sum \frac{Z_{iF}}{k_i} = 1$

- محلول به صورت سوپرهیبت است. اگر  $\sum \frac{Z_{iF}}{k_i} < 1$

### ۳-۷- بررسی تقطیر در سیستم‌های آزتوتروپی

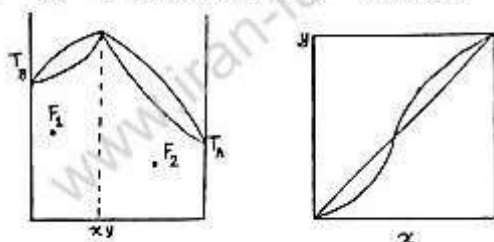
محلول آزتوتروپی رفتاری همانند ماده خالص دارد و به جای محدود جوش دارای نقطه جوش است. در شکل زیر دیاگرام‌های  $T\text{-}xy$  و  $T\text{-}x\text{y}$  سیستم دارای آزتوتروپ می‌نیمم جوش (ماکریسم فشار) نشان داده شده است:



با توجه به شکل فوق محلول آزتوتروپی دارای کمترین نقطه جوش است. همچنین اگر خوراک دارای غلظتی کمتر از محلول آزتوتروپی باشد ( $F_1$ ) محصولات بالا و پایین برج به ترتیب محلول آزتوتروپی و محلول غنی از B خواهد بود. اگر خوراک دارای غلظتی بیش از غلظت محلول آزتوتروپی باشد ( $F_2$ ) محصولات بالا و پایین سری این برج به ترتیب محلول آزتوتروپی و محلول غنی از A خواهد بود. اگر خوراک دارای غلظتی دقیقاً برابر غلظت محلول آزتوتروپی باشد تقطیر انجام پذیر نخواهد بود.

سیستم اتانول و آب یک مثال از سیستم‌های آزتوتروپ از نوع می‌نیمم جوش است که در فشار اتمسفری در غلظت  $x = y = 0.9$  (مولی) دارای آزتوتروپ است. بنابراین اگر خوراکی از آب و الكل دارای غلظتی بیش از 90 درصد مولی الكل باشد (متلاً  $Z_F = 0.96$ ) محصولات این برج به ترتیب محلول آزتوتروپ 90 درصد الكل و 10 درصد آب در بالای برج و محصول غنی از الكل در پایین برج (الكل تقریباً خالص) خواهد بود.

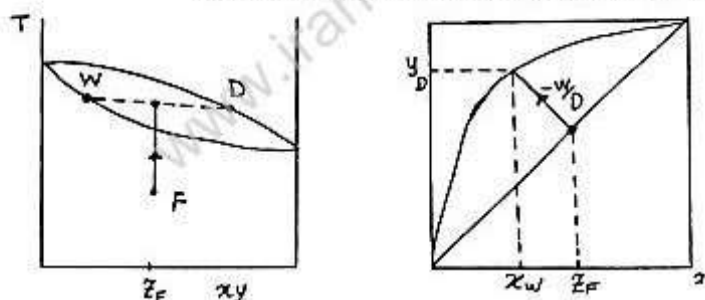
در شکل‌های زیر دیاگرام‌های  $xy$  و  $T\text{-}xy$  سیستم آزتوتروپ ماکریسم جوش (می‌نیمم فشار) نشان داده شده است.



در سیستم فوق اگر خوراک در موقعیت  $F_1$  باشد محصولات بالا و پایین برج به ترتیب محصول غنی از B و محلول آزتوتروپی خواهد بود. و در صورتی که خوراک در موقعیت  $F_2$  باشد محصولات برج به ترتیب محصول غنی از A (در بالای برج) و محلول آزتوتروپی (در پایین برج) خواهد بود.

### ۴-۷- تقطیر ناسکهانی (Flash)

در شکل‌های زیر مسیر تحول Flash در دیاگرام‌های  $xy$  و  $T\text{-}xy$  نشان داده شده است.



موازن جرم و انرژی برای یک واحد Flash منجر به معادله خط کار به صورت زیر می‌شود:

$$-\frac{W}{D} = \frac{y_D - Z_F}{x_w - Z_F} = \frac{H_D - \left( H_F + \frac{Q}{F} \right)}{H_w - \left( H_F + \frac{Q}{F} \right)} \quad (120)$$

با توجه به شکل‌های فوق می‌توان گفت:

$$T_{\text{bubble point}} < T_{\text{Flash}} < T_{\text{Dew Point}} \quad (\text{دما} \text{ی شبنم خوارک}) \quad (121)$$

$$Z_F < y_D < y_M \quad (122)$$

$$x_N < x_w < Z_F \quad (123)$$

$y_M$ : غلظت بخار در تعادل با  $Z_F$  است یعنی زمانی که دمای Flash برابر دمای حباب خوارک است.  $x_N$ :  $\left( \frac{W}{D} = \infty \right)$  تعادل با  $Z_F$  است یعنی زمانی که دمای Flash برابر دمای شبنم خوارک است.

$\left( \frac{W}{D} = 0 \right)$   $x_N$  و  $y_M$  با توجه به معادله منحنی تعادل به یکی از صورت‌های زیر محاسبه می‌شوند:

$$y_M = kZ_F \quad \text{یا} \quad y_M = \frac{\alpha Z_F}{1 + (\alpha - 1)Z_F} \quad (124)$$

$$x_N = \frac{Z_F}{k} \quad \text{یا} \quad x_N = \frac{Z_F}{\alpha(1 - Z_F)} \quad (125)$$

بنابراین خالص‌ترین بخار در دمای حباب و رفیق‌ترین مایع در دمای شبنم حاصل می‌شود.

## ۵-۷- تقطیر دیفرانسیلی

اگر F مول از خوارکی با غلظت  $Z_F$  وارد یک واحد تقطیر دیفرانسیلی شود تا در انتهای کار W مول مایع در ظرف تقطیر باقی بماند (با غلظت  $x_w$ ) نتیجه موازن جرم برای این سیستم در قالب معادله ریله به صورت زیر بیان می‌شود:

$$\int_F^W \frac{dL}{L} = \int_{Z_F}^{x_w} \frac{dx}{y - x} \quad (126)$$

در صورتی که معادله منحنی تعادل به صورت  $y = kx$  باشد حاصل انتگرال فوق به صورت زیر در خواهد آمد:

$$\ln \frac{F}{W} = \frac{1}{k-1} \ln \frac{Z_F}{x_w} \quad (127)$$

و اگر معادله منحنی تعادل به صورت  $y = \frac{\alpha x}{1 + (\alpha - 1)x}$  باشد:

$$\ln \frac{FZ_F}{Wx_w} = \alpha \ln \frac{F(1 - Z_F)}{W(1 - x_w)} \quad (128)$$

معادله (128) به صورت زیر و در قالب نسبت مول‌های A و B در خوارک و در ظرف تقطیر نیز قابل ارائه است:

$$\frac{n_{AF}}{n_{AW}} = \left( \frac{n_{BF}}{n_{BW}} \right)^\alpha \quad (129)$$

و  $n_{AW}$  عدد مول‌های A در خوارک و در ظرف تقطیر است.

غلظت جزء فرار در ظرف جمع‌آوری محصول  $(y_{D,av})$  از معادلات زیر به دست می‌آید:

$$F = D + W \quad (130)$$

$$FZ_F = Dy_{D,av} + Wx_w \quad (131)$$

با در نظر گرفتن این نکته که:

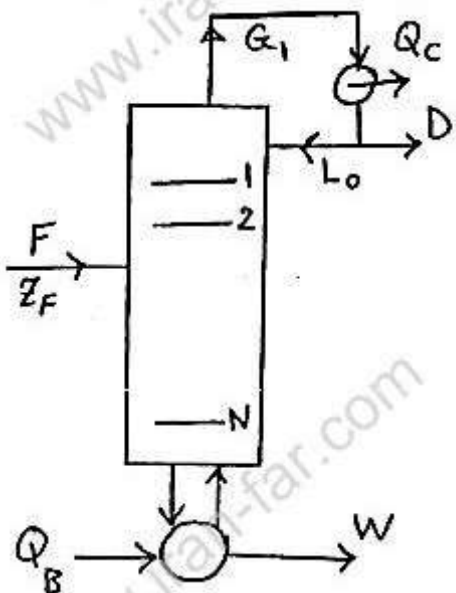
$$\frac{\alpha x_w}{1 + (\alpha - 1)x_w} < y_{D,av} < \frac{\alpha Z_F}{1 + (\alpha - 1)Z_F} \quad (132)$$

در میان دیفرانسیلی معادله ریله به صورت زیر در خواهد آمد:

$$\int_F^D \frac{dv}{v} = \int_{Z_F}^{y_D} \frac{dy}{x - y} \quad (133)$$

### ۶-۷- تقطیر پیوسته

در شکل زیر شماتیک یک واحد تقطیر پیوسته نشان داده شده است. این واحد مجهز به کندانسور و ریبوولر می‌باشد.



در کندانسور بخارات خروجی از بالای برج تبدیل به مایع شده و بخشی از آن به عنوان جریان برگشتی (Reflux) به داخل برج بازگردانده می‌شود. این جریان وظیفه تأمین دائمی جریان مایع در برج را به عهده دارد. نسبت دمی مایع برگشتی به برج ( $L_0/D$ ) به دمی محصول بالای نامیده می‌شود. قسمت فوقانی برج تقطیر مثل یک برج جذب عمل می‌کند که در آن اجزاء غیر

فراری که فرصت حضور در بالای برج را یافته‌اند به درون مایع برگشتی (که دارای دمای پایین تری است) جذب می‌شوند.

در برج‌های تقطیر پیوسته وظیفه تأمین جریان دائمی بخار در برج بر عهده ریبوولر است.

### ۶-۱- انواع کندانسورها و محاسبه بار حرارتی آن

برج‌های تقطیر دارای دو نوع کندانسور هستند: کندانسور کامل و کندانسور پارشیال. در کندانسور کامل تمام بخار ورودی به کندانسور (G<sub>1</sub>) به مایع تبدیل می‌شود. در این کندانسور مایع خروجی از کندانسور در دمای حباب خارج می‌شود:

$$T_{L_0} = T_D = \text{Bubble point at } x_D \quad (134)$$

$$y_1 = x_0 = x_D \quad (135)$$

بار حرارتی کندانسور کامل از معادله زیر به دست می‌آید:

$$Q_c = (R + 1)D(H_{G_1} - H_{L_0}) \checkmark \quad (136)$$

در کندانسور کامل  $H_{L_0} = H_D$  است و این کندانسور به عنوان یک مرحله تعادلی محسوب نمی‌شود. در کندانسور پارشیال بخشی از بخار ورودی به کندانسور به مایع تبدیل می‌شود. در واقع کندانسور همانند یک واحد میان ناگهانی عمل می‌کند که در آن بخار  $G_1$  با از دست دادن گرمای صورت دو فازی درآمده که بخش مایع آن ( $L_0$ ) به درون برج بازگردانده می‌شود و بخش بخار آن (D) به عنوان محصول بالای برج محسوب می‌شود. در این کندانسور:

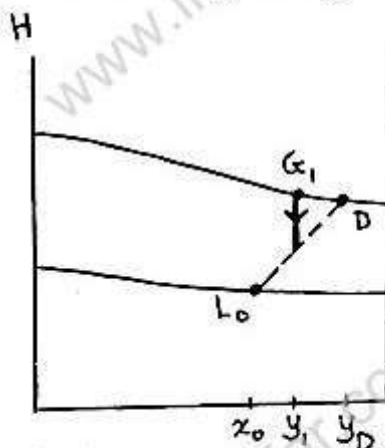
$$-\frac{L_0}{D} = \frac{y_D - y_1}{x_0 - y_1} \quad (\text{مشابه Flash}) \quad (137)$$

$$T_{L_0} = T_D = \text{Dew Point at } y_D \quad (138)$$

$$H_{L_0} \neq H_D, H_D \approx H_{G_1} \quad (139)$$

$$Q_c = RD(H_{G_1} - H_{L_0}) \quad (140)$$

در شکل زیر مسیر تحول کندانسور پارشیال در صفحه  $xy$ -H نشان داده شده است:



همانگونه که ملاحظه می‌شود کندانسور پارشیال به عنوان یک مرحله تعادلی در محاسبات تقطیر محسوب می‌شود.

#### ۲-۶-۷- محاسبه بار حرارتی ریبویلر

بار حرارتی ریبویلر با نوشتن موازنۀ انرژی برای کل برج به دست می‌آید:

$$Q_B = DH_D + Q_c + WH_w - FH_f \quad (141)$$

ریبویلرها به عنوان یک واحد تعادلی در محاسبات تقطیر محسوب می‌شوند. البته ریبویلر از نوع ترموسیفون از این قاعده مستثنی بوده و به عنوان یک مرحله تعادلی هم محسوب نمی‌شود.

#### ۲-۶-۷- روش پونچون

در روش از دیاگرام‌های H-xy استفاده می‌شود. در این روش با نوشتن موازنۀ جرم و انرژی برای بالا و پایین برج، مختصات نقاط تفاضل در بالا و پایین خوراک به صورت زیر به دست می‌آید:

$$\Delta D \begin{cases} x_{\Delta D} = x_D \\ H_{\Delta D} = H_D + \frac{Q_c}{D} \end{cases} \quad (142)$$

$$\Delta W \begin{cases} x_{\Delta w} = x_w \\ H_{\Delta w} = H_w - \frac{Q_B}{W} \end{cases} \quad (143)$$

نقاط F و AD در صفحه H-xy بر یک استقامتند. رسم خطوط کار در بالای برج به کمک  $\Delta D$  انجام می‌شود با رسم خطوط کار و خطوط Tie-Line در روش پونچون عده سینی‌های تئوری برج و نیز شماره سینی خوراک به دست می‌آید (مراجعه به کتاب تربیال برای جزئیات بیشتر). هم‌چنین از روش پونچون و به کمک قانون اهرم شدت جریان‌های مایع و بخار در سینی‌های مختلف برج قابل محاسبه است. از آنجایی که نقاط  $L_n$  و  $G_{n+1}$  و  $\Delta D$  در صفحه H-xy بر یک استقامتند لذا با در نظر گرفتن  $\Delta D$  به عنوان تکه‌گاه و استفاده از قانون اهرم می‌توان نوشت:

$$\frac{L_n}{G_{n+1}} = \frac{\overline{G_{n+1}\Delta D}}{\overline{L_n\Delta D}} \quad (144)$$

سمت راست معادله فوق نشان‌دهنده نسبت طول پاره خط واصل بین  $G_{n+1}$  و  $\Delta D$  به طول پاره خط واصل بین  $L_n$  و  $\Delta D$  است.

#### ۴-۶-۷- محاسبه حداقل تعداد سینی‌های تئوری

در حالتی که نسبت جریان برگشتی در برج برابر بی‌نهایت باشد ( $R = \infty$ ) (حالی که به آن رفلکس کامل هم گفته می‌شود) عده سینی‌های برج حداقل است. در این حالت در روش پونچون نقاط تفاضل برج در  $+\infty$  و  $-\infty$  قرار می‌گیرند و لذا خطوط کار برج یک دسته خطوط قائم هستند (در صفحه H-xy).

معادله Fenske با فرض یک ضریب فراریت ثابت در طول برج به صورت زیر حداقل عده سینی‌های تئوری برج را محاسبه می‌کند:

$$N_{min} + 1 = \log \frac{\left[ \frac{x_D}{1-x_D} \cdot \frac{1-x_W}{x_W} \right]}{\log \alpha_{av}} \quad (145)$$

در معادله بالا  $\alpha_{av}$  متوسط هندسی  $\alpha$  در بالا و پایین برج است:

$$\alpha_{av} = \sqrt{\alpha_{top} \cdot \alpha_{bot}} \quad (146)$$

همانگونه که از معادله بالا ملاحظه می‌شود  $N_{min}$  فقط تابع  $x_D \cdot x_W$  و  $\alpha$  است.

نکته: حداقل عده سینی‌های تئوری برج مستقل از مشخصات خوراک ورودی به برج است.

#### ۴-۶-۸- محاسبه حداقل نسبت جریان برگشتی

در روش پونچون وقتی خط کار و خط Tie بر هم منطبق شوند عده سینی‌های تئوری بی‌نهایت خواهد شد ( $N = \infty$ ). در این حالت نسبت جریان برگشتی در حداقل مقدار خود است ( $R_{min}$ ).

لذا برای محاسبه Tie ، خط عبوری از خوراک رسم شده و تلاقی آن با امتداد قائم  $x_D$  به دست می‌آید (نقطه  $\Delta D_{min}$ ). با محاسبه از روی شکل و به کمک رابطه مربوط به  $R_{min}$  مقدار  $H_{\Delta D_{min}}$  از معادله زیر به دست می‌آید:

$$H_{\Delta D_{min}} = H_D + (R_{min} + 1)(H_{G_1} - H_{L_e}) \quad (147)$$

در کندانسور کامل با توجه به اینکه  $H_D = H_{L_e}$  است:

$$R_{min} = \frac{H_{\Delta D_{min}} - H_{G_1}}{H_{G_1} - H_{L_e}} \quad (148)$$

نسبت بهینه جریان برگشتی برج ( $R_{opt}$ ) از معادله Gilland به دست می‌آید:

$$R_{opt} = (1.2 \sim 1.5) R_{min} \quad (149)$$

نکته:  $R_{min}$  برای خوراکی که به صورت مایع سرد است کمترین مقدار و برای خوراکی که به صورت سوپرھیت است بیشترین مقدار را دارد.

نکته: در حالت  $R_{min}$  به دلیل تلاقي خط کار و خط تعادل در تعدادی از سینی‌های پشت سر هم در درون برج غلظت‌ها و دمایا بدون تغییر می‌ماند که به دلیل توقف انتقال جرم است.

نکته:  $R_{min}$  همیشه به کمک Tie-Line عبوری از خوراک به دست نمی‌آید بلکه ای برای محاسبه  $R_{min}$  به کار می‌رود که  $\Delta D$  آن از همه بالاتر و  $\Delta W$  آن از همه پایین‌تر است.

نکته:  $R_{min}$  بزرگترین رفلکسی است که عده سینی‌ها برج را برابر بینهایت کند.

#### ۷-۶-۵- اثر ازدیاد $R$ بر عملکرد برج

افزایش نسبت جریان برگشتی برج در یک برج در مرحله طراحی باعث می‌شود که:

۱- عده سینی‌های برج کاهش یابد و لذا ارتفاع برج کم شود.

۲- دبی مایع و بخار در برج زیاد شود ( $G_1 = (R+1)D$ ،  $L_0 = RD$ ) و لذا قطر برج زیاد شود.

۳- بار حرارتی کندانسور و ریبویلر و لذا سطح حرارتی کندانسور و ریبویلر زیاد شود.

در یک برج در حال کار افزایش  $R$  موجب افزایش خلوص محصولات برج می‌شود.

#### ۷-۶-۶- پدیده Cold Reflux

اگر مایع خروجی از کندانسور Subcool باشد، در این صورت این مایع در اولین سینی (در ورود به برج) با تبدیل بخشی از بخارات به مایع به حالت مایع اشباع بر می‌گردد. مقدار مایعی که در اثر کندانس بخار حاصل می‌شود از معادله زیر به دست می‌آید:

$$\Delta L = \frac{L_0 \Delta H}{\lambda} = \frac{L_0 C_p \Delta T}{\lambda} \quad (150)$$

$\Delta L$ : مایع حاصل از مبعان بخار و  $\lambda$ : گرمای نهان تبخیر است.

لذا با کندانس مایع، دبی مایع در سینی‌های زیرین افزایش می‌یابد و لذا رفلکس ظاهری  $R' = \frac{L}{D}$  زیاد می‌شود.

$$R' = \frac{L}{D} = \frac{L_0 + \Delta L}{D} = R \left[ 1 + \frac{C_p \Delta T}{\lambda} \right] > R \quad (151)$$

با توجه به معادله بالا می‌توان گفت اثرات Cold Reflux مشابه اثرات ازدیاد رفلکس بر عملکرد برج است.

#### ۷-۶-۷- برج‌های دو خوراکه و برج‌های با جریان جانبی و برج‌های Open Steam

اگر برج از بالا به پایین دارای دو خوراک  $F_1$  و  $F_2$  باشد این برج دارای سه نقطه تفاضل است:  $\Delta D$  (در بالای  $F_1$ )،  $\Delta M$  (بین  $F_1$  و  $F_2$ ) و  $\Delta W$  (پایین  $F_2$ ) مخصوص نقاط  $\Delta D$  و  $\Delta W$  مشابه معادلات (۱۴۲) و (۱۴۳) است. اما  $\Delta M$  با نوشتن موازنگ جرم و انرژی به کمک بالا با پایین برج به یکی از صورت‌های زیر به دست می‌آید:

$$\Delta M \begin{cases} x_{\Delta M} = \frac{Dx_D - F_1 Z_{F1}}{D - F_1} \\ H_{\Delta M} = \frac{DH_D + Q_c - F_1 H_{F1}}{D - F_1} \end{cases} \quad (152)$$

$$\Delta M \begin{cases} x_{\Delta M} = \frac{F_2 Z_{F2} - Wx_w}{F_2 - W} \\ H_{\Delta M} = \frac{F_2 H_{F2} + Q_b - WH_w}{F_2 - W} \end{cases} \quad (153)$$

$\Delta M$  به دست آمده از هر دو معادله فوق به لحاظ عددی یکسان است. در برج دو خوراکه نقاط  $F_1$  و  $\Delta D$  و  $\Delta M$  بر یک استقامتند. همچنین نقاط  $F_2$  و  $\Delta W$  نیز بر یک استقامت خواهند بود. اگر برج دارای جریان جانبی (S) در بالاتر از خوراک باشد علاوه بر نقاط تفاضل  $\Delta D$  و  $\Delta W$  در بالا و پایین برج، یک نقطه تفاضل هم بین  $F$  و  $S$  داریم.

$$\Delta M \begin{cases} x_{\Delta M} = \frac{Dx_D + Sx_s}{D + S} \\ H_{\Delta M} = \frac{DH_D + Q_c + SH_s}{D + S} \end{cases} \quad (154)$$

اگر در یک برج آب جزء سنگین باشد می‌توان ریمویلر را حذف نموده و از تزریق مستقیم بخار به درون برج استفاده کرد. در این حالت نقطه تفاضل پایین خوراک به صورت زیر تغییر خواهد کرد.

$$\Delta W \begin{cases} x_{\Delta W} = \frac{Wx_w}{W - S} \\ H_{\Delta W} = \frac{WH_w - SH_s}{W - S} \end{cases} \quad (155)$$

در معادله بالا  $S$  شدت جریان بخار (Steam) ورودی به برج است. در این برج نقاط  $S$  و  $W$  و  $\Delta W$  بر یک استقامتند. همینطور نقاط  $F$  و  $\Delta D$  و  $\Delta W$  بر یک استقامتند.

#### ۸-۶-۷- روشن مک کیب

در این روشن متحتی‌های  $x$ -  $H_L$  و  $y$ -  $H_G$  به صورت دو خط موازی فرض می‌شوند. در این روشن دبی‌های مولی مایع و بخار در هر ناحیه از برج مقدار ثابتی است (به عبارتی  $N_A + N_B = 0$ ). در بخش بالای خوراک  $L$  و  $G$  دبی‌های مایع و بخار هستند که به ترتیب برابر  $(R+1)D$  و  $RD$  هستند. با نوشتن موازنۀ جرم برای بخش بالای خوراک، معادله خط کار این ناحیه به صورت زیر به دست می‌آید:

$$y = \frac{R}{R+1}x + \frac{x_D}{R+1} \quad (156)$$

این خط از نقطه‌ای به مختصات  $(x_D, x_D)$  روی خط  $45^\circ$  می‌گذرد. در این روشن دبی‌های مایع و بخار در پایین خوراک به ترتیب  $\bar{L}$  و  $\bar{G}$  فرض می‌شود. با نوشتن بیلان جرم برای بخش پایین خوراک، معادله خط کار این ناحیه به دست می‌آید.

$$y = \frac{\bar{L}}{G}x - \frac{Wx_w}{G} \quad (157)$$

خط کار این ناحیه از نقطه‌ای به مختصات  $(x_w, x_w)$  روی خط  $45^\circ$  می‌گذرد. خطوط کار بالا و پایین خوراک در سینی خوراک با هم تلاقی می‌کنند. با نوشتن موازنۀ جرم برای سینی خوراک خواهیم داشت:

$$\begin{aligned} \bar{L} &= L + qF \\ \bar{G} &= G + (q-1)F \end{aligned} \quad (158)$$

در معادله بالا  $q$  کسری از خوراک است که به صورت مایع اشباع وارد برج می‌شود. معادله خط خوراک از نوشتن بیلان جرم جزئی در سینی خوراک به دست می‌آید:

$$y = \frac{q}{q-1} x - \frac{Z_F}{q-1} \quad (159)$$

که از نقطه‌ای به مختصات  $(Z_F, Z_F)$  روی خط  $45^\circ$  می‌گذرد. با نوشتن موازنۀ انرژی برای سینی خوراک به تعریف جدیدی بر  $q$  دست خواهیم یافت:

$$q = \frac{H_G - H_F}{H_G - H_L} = \frac{\text{انرژی لازم برای تبدیل خوراک به بخار اشباع}}{\text{گرمای نهان نخست}} \quad (160)$$

مطابق تعریف فوق برای حالات مختلف خوراک خواهیم داشت:

حالت خوراک	$H_F$	$q = \frac{H_G - H_F}{H_G - H_L}$	شیب خط خوراک $= \frac{q}{q-1}$
مایع سرد	$H_F < H_L$	$q > 1$	$1 < \frac{q}{q-1} < \infty$
مایع اشباع	$H_F = H_L$	$q = 1$	$\infty$
دوفازی	$H_L < H_F < H_G$	$0 < q < 1$	شیب منفی است و $0 < \left  \frac{q}{q-1} \right  < \infty$
بخار اشباع	$H_F = H_G$	$q = 0$	0
بخار سوبرهیبت	$H_F > H_G$	$q < 0$	$0 < \left  \frac{q}{q-1} \right  < 1$

برای حالات مایع سرد و بخار سوبرهیبت  $q$  از معادلات زیر به دست می‌آید:

$$q = 1 + \frac{C_p \Delta t}{\lambda} > 1 \quad (\text{مایع سرد}) \quad (161)$$

$$q = -\frac{C_p \Delta t}{\lambda} < 0 \quad (\text{بخار سوبرهیبت}) \quad (162)$$

#### ۹-۶-۷- محاسبه $N_{min}$ در روش مککب

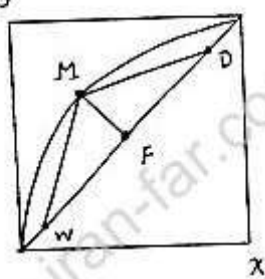
در حالت  $N_{min}$ ، نسبت جریان برگشتی برابر  $\infty$  است لذا خطوط کار برج بر خط  $45^\circ$  منطبق می‌شوند. بنابراین

با رسم پله‌های بین منحنی تعادل و خط  $45^\circ$  به دست می‌آید  $N_{min}$ .

۱۰-۶-۷ - محاسبه  $R_{min}$  در روش مک کیب

برای محاسبه  $R_{min}$  در روش مک کیب کافی است محل تلاقي خط خوراک و منحنی تعادل را مطابق شکل زیر به دست آوریم (نقطه M)

سپس با وصل نمودن نقطه M به نقطه D و محاسبه شیب MD و برابری آن با  $\frac{R_{min}}{R_{min}+1}$  مقدار  $R_{min}$  را محاسبه نمود:



مختصات نقطه M از تلاقي معادلات تعادل و خط خوراک به صورت زیر به دست می‌آید:

$$y = \frac{\alpha x}{1 + (\alpha - 1)x}$$

$$y = \frac{q}{q-1}x - \frac{Z_F}{q-1}$$

پس از یافتن مختصات نقطه M از معادله بالا از رابطه زیر  $R_{min}$  به دست می‌آید:

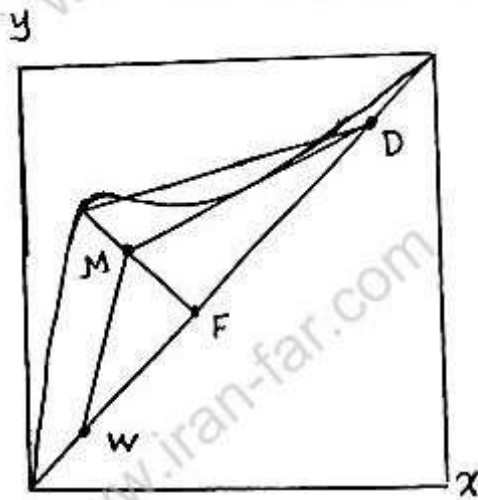
$$MD = \text{شیب } MD = \frac{x_D - x_M}{y_D - y_M} = \frac{R_{min}}{R_{min} + 1} \quad (163)$$

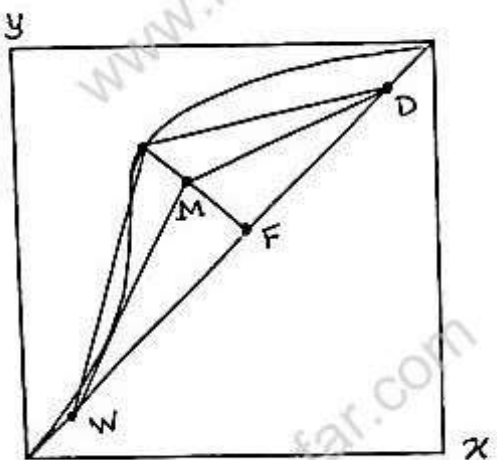
با توجه به توضیحات فوق مشخص می‌شود که  $R_{min}$  به عوامل زیر بستگی دارد:

$$R_{min} = f(x_D, q, Z_F, \alpha) \quad (164)$$

معادله فوق همان معادله Underwood است (مراجعه شود به معادله 133 فصل 9 تریبال).

در صورتی که محلول غیر ایده‌آل باشد لزوماً همیشه تلاقي خط خوراک و منحنی تعادل منجر به محاسبه  $R_{min}$  نمی‌شود به عنوان مثال در دو شکل زیر ملاحظه می‌گردد که با رسم خط مماس به طریقی که در شکل نشان داده شده است  $R_{min}$  به دست می‌آید.





## ۷-۱۱-۶-۷- برج‌های دو خوراک، برج‌های با جریان جانبی و open steam

در برج‌های دو خوراک سه خط کار و دو خط خوراک در محاسبات روش McCabe وجود دارد. در ناحیه بالای خوراک  $F_1$  و پایین خوراک  $F_2$  معادلات خط کار مشابه معادلات (۱۵۶) و (۱۵۷) می‌باشد. در ناحیه بین خوراک  $F_1$  و  $F_2$  یک خط کار جدید وجود دارد که معادله آن با نوشتن موازن جرم در این ناحیه به صورت زیر به دست می‌آید:

$$y = \frac{L'}{G'}x + \frac{Dx_D - F_1 Z_{F_1}}{G'} \quad (165)$$

$L'$  و  $G'$  در معادله فوق شدت جریان مایع و بخار در ناحیه بین دو خوراک  $F_1$  و  $F_2$  می‌باشند. دبی‌های مایع و بخار در سه ناحیه برج (بالای  $F_1$ ، بین  $F_1$  و  $F_2$  و پایین  $F_2$ ) به صورت زیر محاسبه خواهد شد:

$$F_1 \left\{ \begin{array}{l} L = RD \\ G = (R+1)D \end{array} \right. \text{ بالای } F_1$$

$$F_2 \left\{ \begin{array}{l} L' = L + q_1 F_1 \\ G' = G + (q_1 - 1)F_1 \end{array} \right. \text{ بین } F_1 \text{ و } F_2$$

$$F_2 \left\{ \begin{array}{l} \bar{L} = L' + q_2 F_2 \\ \bar{G} = G' + (q_2 - 1)F_2 \end{array} \right. \text{ پایین } F_2$$

محل تلاقی خط کار ناحیه بین  $F_1$  و  $F_2$  با خط  $y = x$  از معادله زیر به دست می‌آید:

$$x = \frac{Dx_D - F_1 Z_{F_1}}{D - F_1} = x_{SM} \quad (166)$$

همان‌گونه که ملاحظه می‌وشند این ن نقطه همان نقطه تفاضل این ناحیه است. به طور کلی:

محل تلاقی خط کار هر ناحیه با خط  $y = x$  همان مختصات نقطه تفاضل آن ناحیه است.

در برج‌های با جریان جانبی یک خط کار جدید هم بین  $S$  (جریان جانبی) و  $F$  وجود دارد که معادله آن به صورت زیر است:

$$y = \frac{L'}{G'}x + \frac{Dx_D + Sx_S}{G'} \quad (167)$$

در ناحیه بین  $S$  و  $F$  دبی‌های مایع و بخار با فرض آنکه  $S$  به صورت مایع اشباع باشد به صورت زیر محاسبه می‌شود.

$$L' = L - S = RD - S, G' = G = (R+1)D \quad (168)$$

که با جایگزینی این دبی‌ها در معادله (۱۶۷) خواهیم داشت:

$$y = \frac{R - \frac{S}{D}}{R+1}x + \frac{x_D + \frac{S}{D}x_S}{R+1} \quad \checkmark \quad (169)$$

در برج‌های تقطیر وقتی آب جزء سنگین باشد از open steam استفاده می‌شود در این حالت در روش مک‌کیب دو خط کار خواهیم داشت که خط کار بالای خوراک مشابه معادله (۱۵۶) خواهد بود اما خط کار پایین خوراک به صورت زیر خواهد شد:

$$y = \frac{W}{S} (x - x_w) \quad (170)$$

که از نقطه‌ای به مشخصات  $(x_w, 0)$  می‌گذرد.

## ۸- استخراج از مایعات

در صورتی که برای جداسازی یک سیستم به یکی از دلایل زیر تقطیر امکان‌پذیر نباشد استخراج گزینه بعدی است:

۱- داشتن محلول آزتوتروبی

۲- داشتن ماده حساس به دما

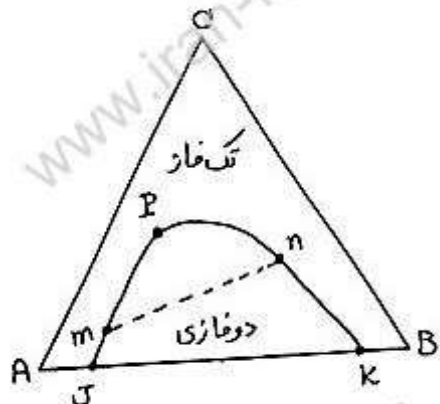
۳- ضریب فراریت نسبی نزدیک به یک باشد.

در استخراج با افزودن حلal (B) به خوراک (که شامل اجزاء C و A است) دو فاز مایع تشکیل خواهد شد که فاز غنی از حلal را Extract و فاز غنی از همراه را Raffinate گویند. اصولاً حلال‌ها به دو دسته تقسیم می‌شوند:

۱- حلal غیر قابل امتزاج با جزء همراه (A)، که در این حالت حلal B فقط C را در خود حل می‌کند و A و B در هم نامحلولند. در این حالت هر دو فاز E و R دو جزئی خواهند بود.

۲- حلal با امتزاج‌بذری نسبی، که در این حالت حلal B عمدتاً جزء C را در خود حل می‌کند اما خود A و B هم به طور جزئی در هم حل می‌شوند. در این صورت هر دو فاز E و R سه جزئی خواهند بود که طبیعتاً برای بررسی تعادلات به دیاگرام مثلثی نیاز خواهیم داشت.

در شکل زیر نمونه‌ای از دیاگرام مثلثی ارائه شده است:



نقطه P در شکل فوق همان نقطه plait است. در نقطه

۱- طول Tie Line برابر صفر است.

۲- غلظت اجزاء در هر دو فاز E و R با هم برابر است ( $y = x$ ) و فاکتور استخراج مساوی یک است. ( $\beta = 1$ )

۳- کشنش بین سطحی بین دو فاز به صفر می‌رسد.

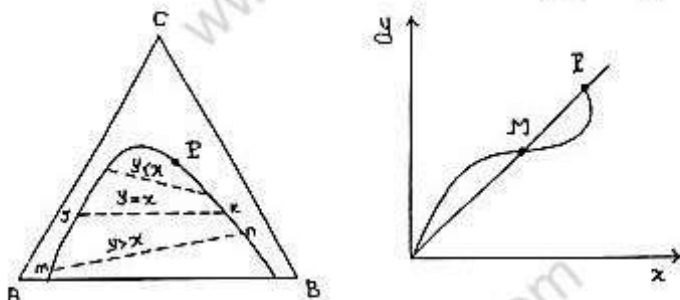
با توجه به شکل فوق می‌توان گفت:

۱- A و C کاملاً در هم محلولند. B و C نیز کاملاً در هم محلولند.

۲- A و B به طور جزئی در هم حل می‌شوند.

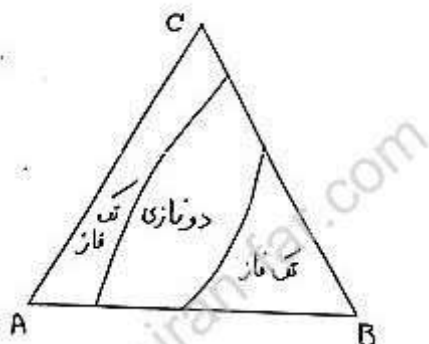
۳- شاخه pmk مشخصات فاز E و شاخه pmj مشخصات فاز R را نشان می‌دهد.

در شکل زیر هم نمونه دیگری از دیاگرام مثلثی ارائه شده است.



همچنانکه ملاحظه می‌شود شبیه Tie-Line در این سیستم از مشت به منفی تغییر کرده است.  $\text{Jk}$  که در منحنی  $xy$  با نقطه  $M$  نشان داده شده است معروف محلول سولوتربیک است که در آن  $y = x$  است و تفاوت مهم محلول سولوتربیک با نقطه plait این است که در محلول سولوتربیک سیستم دو فازی است و علیرغم تساوی  $x = y$  (غلظت جزء  $C$  در فازهای  $R$  و  $E$ )، فاکتور استخراج مخالف یک است ( $\beta \neq 1$ ) همچنین طول Tie مخالف صفر بوده و کشش بین سطحی هم مخالف صفر است.

نمونه دیگری از دیاگرام مثلثی در شکل زیر نشان داده شده است که در این سیستم  $A$  و  $B$  به طور جزئی در هم حل می‌شوند و  $C$  نیز به طور جزئی در هم حل می‌شوند ولی  $A$  و  $C$  به طور کامل در هم حل می‌شوند. بنابراین مطابق این شکل و توضیحات فوق حال حلال  $B$ ، حال مناسبی برای استخراج جزء  $C$  نیست.



افزایش دما باعث افزایش حلalیت مواد در هم می‌شود لذا باعث می‌شود سطح ناحیه دو فاز کوچک شود به همین دلیل بهتر است استخراج در دمای پایین انجام شود.

#### ۸-۱- فاکتور استخراج و ضریب توزیع اجزاء بین فازها

در استخراج، فاکتور استخراج ( $\beta$ ) به صورت زیر تعریف می‌شود:

$$\beta = \frac{\left(\frac{C}{A}\right)_E}{\left(\frac{C}{A}\right)_R} = \frac{\left(\frac{\text{جزء اصلی}}{\text{جزء همراه}}\right)_E}{\left(\frac{\text{جزء اصلی}}{\text{جزء همراه}}\right)_R} \quad (121)$$

ضریب توزیع اجزاء بین فازها ( $k$ ) نیز به صورت زیر تعریف می‌شود:

$$k = \frac{C_E}{C_R} = \frac{y}{x} \quad (122)$$

شرط انجام پذیری استخراج  $1 > \beta$  است.

سنوا: آیا در استخراج می‌توان نوشت:

$$y = \frac{\beta x}{1 + (\beta - 1)x}$$

اگر A و B در هم نامحلول باشند (هر دو فاز دو جزئی است) غلظت A در فاز E برابر صفر است. لذا:

$$\beta = \frac{\frac{y}{x}}{\frac{1-x}{1-y}} = \infty \quad (173)$$

چون فازهای E و R دو جزئی هستند لذا غلظت A در فاز R برابر  $x - 1$  می‌شود (x: غلظت C در فاز R است).

اگر سیستم سه‌جزئی باشد (یعنی A و B به طور جزئی در هم حل شوند) در این صورت چون  $A_E \neq (1-y)$  و  $A_R \neq (1-x)$  لذا

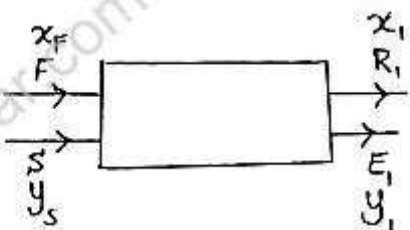
$$\beta = \frac{\frac{y}{x - 1}}{\frac{A_E \neq (1-y)}{A_R \neq (1-x)}} \rightarrow y \neq \frac{\beta x}{1 + (\beta - 1)x}$$

ملحوظه می‌شود که در این حالت هم رابطه  $y = \frac{\beta x}{1 + (\beta - 1)x}$  صادق نیست. اما اگر X و Y غلظت جزء C در فازهای R و E و برعکس

عاری از حلال (B) باشند می‌توان نوشت:

$$\beta = \frac{\frac{Y}{1-Y}}{\frac{X}{1-X}} \rightarrow Y = \frac{\beta X}{1 + (\beta - 1)X} \quad (174)$$

## ۲-۸- استخراج در جریان همسو

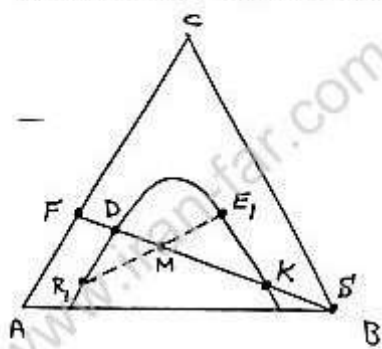


در شکل رویرو شمانیک جریان همسو در فرآیند استخراج نشان داده شده است.

اگر A و B در هم نامحلول باشند سیستم‌های E و R دو جزئی هستند لذا معادله خط کار به صورت زیر در خواهد آمد:

$$\frac{Y_1 - Y_S}{X_1 - X_F} = -\frac{R_S}{E_S} \quad (175)$$

اما اگر A (جزء همراه) و B (حلال) به طور جزئی در هم حل شوند به دیاگرام مثلثی تیاز خواهیم داشت (چون هر دو فاز سه‌جزئی هستند) در شکل زیر مسیر تحول جریان همسو در دیاگرام مثلثی نشان داده شده است.



در شکل فوق خط FS مسیر افزودن حلال (S) به خوراک را نشان می‌دهد. مطابق شکل فوق حداقل حلال برای داشتن سیستم دو فازی در شرایطی به دست خواهد آمد که امولسیون (M) در نقطه D واقع شود لذا طبق قانون اهرم می‌توان نوشت:

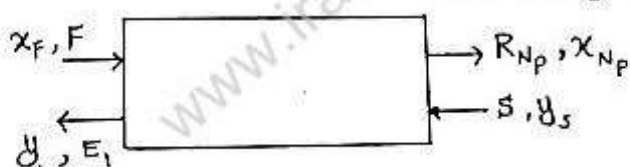
$$S_{\min} = F \cdot \frac{\overline{FD}}{\overline{SK}} \quad (176)$$

و به طریق مشابه حداقل مقدار حلال برای داشتن سیستم دو فازی در حالتی به دست می‌آید که امولسیون (M) در نقطه K باشد:

$$S_{\max} = F \cdot \frac{\overline{FK}}{\overline{SK}} \quad (177)$$

### ۳-۸- استخراج در جریان ناهمسو

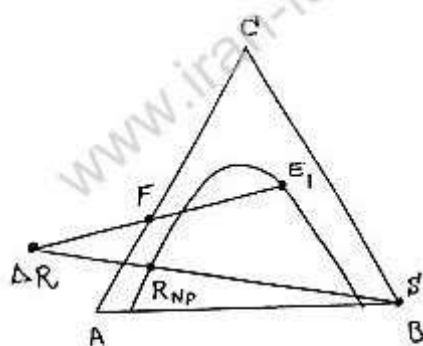
در شکل زیر شماتیک جریان ناهمسو نشان داده شده است:



مجددأ در صورتی که A و B در هم نامحلول باشند فازهای E و R دوجزئی هستند لذا معادله خط کار عبارت خواهد بود از:

$$\frac{Y_I - Y_S}{X_F - X_{N_p}} = \frac{R_S}{E_S} \quad (178)$$

در صورتی که A و B بهطور جزئی در هم حل شوند فازهای E و R سه جزئی بوده و لذا محاسبات در صفحه مختصات مثلثی باید انجام شود. در این حالت با توجه به موازنه جرم یک نقطه تفاضل خواهیم داشت که از تلاقی امتدادهای SR\_{N\_p} به دست می‌آید مطابق شکل زیر:



موقعیت نقطه تفاضل  $\Delta R$  تابع عوامل زیر است:

$$\Delta R = f[F, x_F, S, y_S, y_I \text{ با } x_{N_p}] \quad (179)$$

یعنی موقعیت  $\Delta R$  تابع شدت و غلظت خوراک، شدت و غلظت حلال و غلظت جزء اصلی در فاز Extract یا Raffinate است. محاسبه عده مراحل به روشهای مشابه روش پونچون در تقطیر به کمک نقطه تفاضل  $\Delta R$  انجام می‌شود.

نکته: برای محاسبه حداقل حلال در جریان ناهمسو، از تلاقی Tie-Line و امتداد SR\_{N\_p} نقطه  $\Delta R_{\min}$  به دست می‌آید. اگر در سمت چپ دیاگرام مثلثی امتداد SR\_{N\_p} را قطع کند دورترین محل تلاقی  $\Delta R_{\min}$  است و اگر امتداد SR\_{N\_p} را در سمت راست دیاگرام مثلثی قطع کند نزدیک‌ترین تلاقی Tie-Line ها با امتداد SR\_{N\_p} نقطه  $\Delta R_{\min}$  است. لذا واضحًا موقعیت  $\Delta R_{\min}$  به شب Tie-line هم بستگی دارد (هر چند موقعیت  $\Delta R$  به شب Tie-Line وابستگی ندارد).

#### ۴-۸- دستگاه‌های استخراج

در این قسمت خلاصه‌ای از نکات مهم مربوط به دستگاه‌های استخراج ارائه خواهد شد:

##### ۱- دستگاه‌های Mixer-Setler

- این دستگاه‌ها راندمان بالایی دارند ( $75\% - 100\%$ )
- اگر در فاز مایع جزء جامد داشته باشیم مناسب هستند.
- هم به صورت ناپیوسته و هم به صورت پیوسته استفاده می‌شوند در حالت پیوسته حداقل عده مراحل بین ۶-۸ مرحله است.

##### ۲- استخراج کننده سانتریفوژی

- وقتی استفاده می‌شوند که اختلاف دانسیته دو فاز کم باشد.
- زمانی استفاده می‌شوند که زمان اقامت کمی مورد نظر باشد (استخراج ویتامین‌ها و پنی‌سیلین)
- در یک ماشین سانتریفوژ به حدود ۳ تا ۱۰ مرحله تثویری می‌توان دست یافت.
- تجهیزات گران قیمت و پرهزینه‌ای هستند.
- راندمان بالایی دارند.

##### ۳- استخراج کننده‌هایی که در آنها یک فاز پراکنده می‌شود.

- در این دسته سه دستگاه اصلی قرار می‌گیرند: برج‌های سینی‌دار، برج‌های پرشده و برج‌های پاششی
- فازی باید پراکنده شود که یا ویسکوزیته بالا یا شدت جریان بالایی داشته باشد.
- فاز پراکنده می‌تواند از بالا و یا از پایین وارد برج شود فقط فاز سبک باید از پایین و فاز سنگین باید از بالا وارد شود.
- بالاترین انتقال جرم در محل تشکیل قطرات انجام می‌شود.
- این دستگاه‌ها زمانی استفاده می‌شوند که کشش بین سطحی کم باشد. (در این حالت پراکندگی به راحتی انجام می‌شود)
- برج‌های پرشده و سینی‌دار در حضور جامد مناسب نیستند.
- مفهوم طغیان در برج پرشده آن است که اگر دبی یک فاز زیاد شود به طوری که فازهای پیوسته و پراکنده از یک طرف خارج شوند.

- در این دستگاه‌ها چون هر دو فاز مایع هستند (نزدیکی دانسیته‌ها) راندمان بسیار پایین است (حدود  $24\% - 6$  برای سینی‌دار).

ارتفاع معادل یک واحد تثویری (HETP) برج‌های پرشده و پاششی هم در حدود  $(20\text{ft} - 5)$  و  $(20\text{ft} - 10)$  است که مجدداً نشان‌دهنده کارایی پایین این دستگاه‌ها برای استخراج است.

##### ۴- استخراج کننده مجهز به همزن (Agitated)

- در این دستگاه‌ها از همزن درون برج استفاده می‌شود. دو نوع اصلی این دستگاه‌ها برج‌های RDC و شیبل می‌باشد.
- این دستگاه‌ها راندمان بسیار بالایی دارند. ( $80\% - 100\%$ )
- برای زمانی که عده مراحل تثویری مورد نیاز باشد مناسب هستند (مثلاً ۴۰ مرحله)
- برای سیالات خورنده مناسب نیستند.
- اگر سیال ویسکوز باشد برج شیبل به RDC ارجحیت دارد.

## ۵- برج‌های ضربانی (pulsed)

- در این برج جریان مایع به صورت ضربانی وارد برج می‌شود.
- یک برج پر شده یا سینی داری که در آن ایجاد ضربان شده باشد دارای راندمانی در حدود ۳ برابر برج پر شده یا سینی داری است که در آن پالسی ایجاد نشده است.
- این دستگاه‌ها برای سیالات خورنده و رادیواکتیو مناسبند.
- با ازدیاد ضربان‌ها ابتدا راندمان افزایش و سپس کاهش می‌یابد.

## بخش سوم

### عملیات واحد ۲

#### ۹- رطوبت سنجی (*Humidification*)

اگر گاز خشک B در تماس با مایع A قرار گیرد در اثر تبخیر مایع A به درون گاز B، این گاز توسط مایع مرطوب می‌شود تا جایی که این گاز به طور کامل اشباع از رطوبت شود.

#### ۱-۹- تعاریف و اصطلاحات

۱- رطوبت مطلق (*Absolute Humidity*)

(۱۸۰)

$$Y' = \frac{\text{kg A}}{\text{kg B}} = \frac{\text{kg H}_2\text{O}}{\text{kg Dry Air}}$$

با ایده‌آل فرض کردن فاز گاز رطوبت مطلق به صورت زیر هم قابل بیان است:

$$Y' = \frac{M_A}{M_B} \cdot \frac{P_A}{P_t - P_A}$$

(۱۸۱)

و  $M_B$  جرم مولکولی A و B است.

۲- رطوبت اشباع (*Saturated Humidity*)

$$Y'_s = \frac{M_A}{M_B} \cdot \frac{P_A^{sat}}{P_t - P_A^{sat}}$$

(۱۸۲)

$P_A^{sat}$ : فشار بخار اشباع جزء A (که تابع دماست)

۳- رطوبت نسبی (*Relative Humidity*)

(۱۸۳)

$$RH\% = \frac{P_A}{P_A^{sat}} \times 100$$

نسبت فشار بخار به فشار بخار اشباع را رطوبت نسبی گویند.

## ۴- درصد رطوبت مطلق (Percentage Humidity)

$$\frac{Y'}{Y'_s} \times 100 = \frac{P_A}{P_A^{\text{sat}}} \cdot \frac{P_t - P_A^{\text{sat}}}{P_t - P_A} \times 100 \quad (184)$$

درصد رطوبت مطلق به لحاظ عددی از رطوبت نسبی کوچکتر است.

## ۵- حجم مرطوب (Humid Volume)

حجمی که توسط یک کیلوگرم هوا خشک (B) و رطوبت همراه آن (A) اشغال شده است را حجم مرطوب گویند. حجم مرطوب با  $V_{\text{H}}$  نشان داده می‌شود.

## ۶- گرمای مرطوب (Humid Volume)

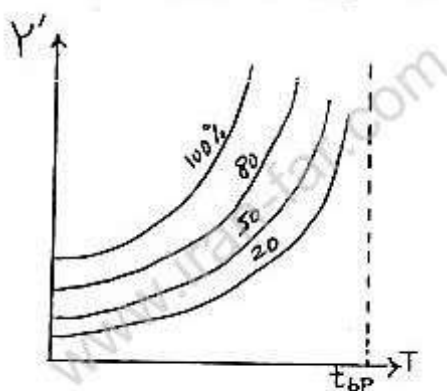
مقدار انرژی لازم برای آنکه دمای یک کیلوگرم هوا خشک (B) و رطوبت همراه آن را یک درجه سانتی‌گراد در فشار ثابت افزایش دهد:

$$C_s = C_B + Y' C_A \quad (185)$$

و  $C_B$  و  $C_A$  ظرفیت گرمایی A (آب) و B (هوا) است.

## ۲-۹- منحنی رطوبت سنجی

منحنی رطوبت سنجی منحنی است که در آن تغییرات رطوبت مطلق گاز ( $Y'$ ) بر حسب دما ( $T$ ) برای درصدهای مختلف رطوبت نسبی نشان داده شده است. در شکل زیر نمونه‌ای از این منحنی ارائه شده است.

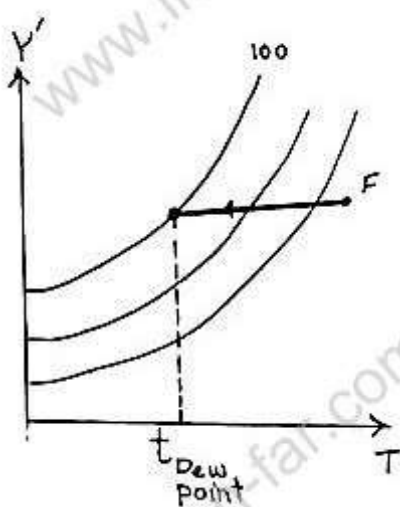


همانگونه که از این شکل ملاحظه می‌شود با افزایش دما گنجایش رطوبت هوا افزایش می‌یابد و در دمای جوش مایع ( $t_{bp}$ ) رطوبت مطلق اشباع به سمت بی‌نهایت میل می‌کند چون:

$$T = t_{bp} \rightarrow P_A^{\text{sat}} = P_t \rightarrow Y'_s = \infty \quad (186)$$

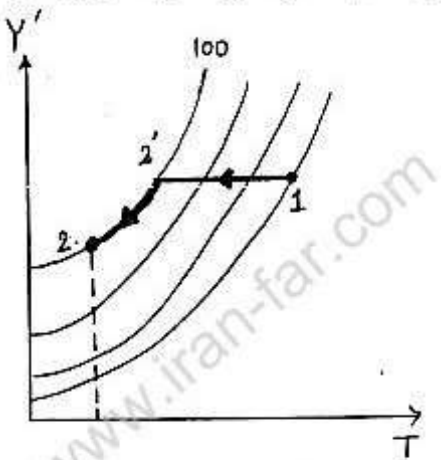
## ۳-۹- دمای شبیم (Dew Point)

اگر در فشار ثابت یک گاز حاوی رطوبت را سرد کنیم دمایی که در آن رطوبت نسبی هوا برابر 100% خواهد شد دمای شبیم نامیده می‌شود مثلاً در شکل زیر دمای شبیم هوا مرطوب (F) نشان داده شده است:

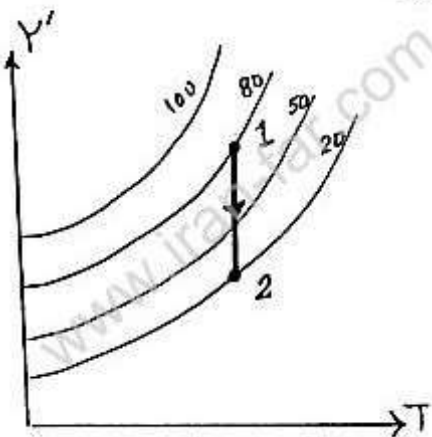


دمای شبند مطابق شکل روبرو تابع مقدار رطوبت گاز و تیز فشار کل است. اثر فشار بر دمای شبند به واسطه اثر این عامل بر منحنی اشباع (100%) در منحنی رطوبت سنجی است (مراجعه شود به معادله ۲). به طور کلی با افزایش فشار (کاهش  $\gamma$ ) و افزایش رطوبت مطلق گاز، دمای شبند افزایش می‌یابد.

اگر گازی را تا دمایی کمتر از دمای شبند آن سرد کنیم مسیر تحول مطابق شکل زیر خواهد بود:



مطابق شکل فوق ملاحظه می‌شود که چون  $\gamma_1 > \gamma_2$  است لذا این هوا بخشی از رطوبت خود را به صورت گندانس مایع از دست داده است. این پدیده در زمستان و در قالب بخار گرفتگی سطح شیشه منازل قابل مشاهده است. بنابراین اگر هوا کنار یک سطح با دمایی کمتر از دمای شبند گاز قرار گیرد هوا بخشی از رطوبت خود را از دست می‌دهد. اگر یک هوا مرطوب از روی یک بستر جاذب الرطوبه (مثل سیلیکاژل) عبور کند مسیر تحول مطابق شکل زیر است:



ملاحظه می‌شود که بدون آنکه دمای گاز تغییر چندانی بکند رطوبت گاز کاهش چشمگیری پیدا می‌کند.

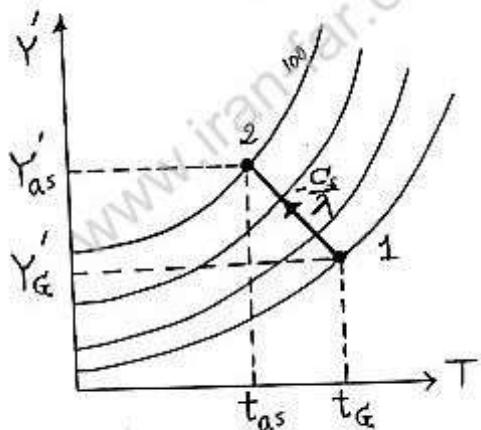
### ۴-۹- دمای اشباع آدیبااتیک

اگر هوا بی با رطوبت اولیه  $Y'_G$  و دمای  $t_G$  در تماس با آب قرار گیرد تا به صورت آدیبااتیک اشباع از بخار آب شود در این صورت رطوبت هوا به  $Y'_{as}$  و دمای آن به  $t_{as}$  (دمای اشباع آدیبااتیک) می‌رسد. موازنۀ انرژی در این حالت به صورت زیر است:

$$C_s(t_G - t_{as}) = (Y'_{as} - Y'_G)\lambda \quad (187)$$

$$Y'_G - Y'_s = -\frac{C_s}{\lambda}(t_G - t_{as}) \quad (188)$$

مسیر تحول فوق روی منحنی رطوبت‌سنجدی خطی است با شیب  $\frac{C_s}{\lambda}$  (مطابق شکل زیر)



### ۵-۹- دمای حباب مرطوب

دماسنجدی را در نظر بگیرید که پارچه خشکی دور آن پیچیده شده است و در هوا بی با دمای  $t_G$  (دمای حباب خشک) قرار گرفته است. اگر پارچه مورد نظر خیس شود و دماسنجد را در هوا بجزئیم مقداری از آب درون پارچه به درون هوا تبخیر می‌شود. تبخیر آب باعث کاهش دمای دماسنجد می‌شود، در حالت بایدار این دما به دمای حباب مرطوب هوا می‌رسد (Wet Bulb). موازنۀ انرژی در حالت پایا به صورت زیر است:

$$h_G(t_G - t_w) = K_y(Y'_w - Y'_G)\lambda \quad (189)$$

$$Y'_G - Y'_w = -\frac{h_G}{K_y \lambda}(t_G - t_w) \quad (190)$$

$Y'_w$  : رطوبت در سطح پارچه،  $Y'_G$  : رطوبت در توده هوا و  $\lambda$  : نیز گرمای نهان تبخیر آب می‌باشد. ملاحظه می‌شود مسیر این تحول خطی است به شیب  $\frac{h_G}{K_y \lambda}$ . از تقسیم نسبت شیب منحنی دمای حباب مرطوب به شیب منحنی اشباع آدیبااتیک پارامتری به دست می‌آید که آن را نسبت رطوبت‌سنجدی می‌گویند:

$$\frac{h_G}{K_y C_s} = \text{نسبت رطوبت سنجدی} \quad (191)$$

$h_G$ : ضریب انتقال حرارت تابع  $Re$  و  $Pr$  است و  $K_y$ : ضریب انتقال جرم تابع  $Sc$  و  $Re$  است. لذا نسبت رطوبت‌سنجدی تابع عدد لوپیس خواهد بود:

$$\frac{h_G}{K_y C_s} = Le^{0.567} \quad (192)$$

برای سیستم هوا - بخار آب چون  $Le = 1$  است لذا:

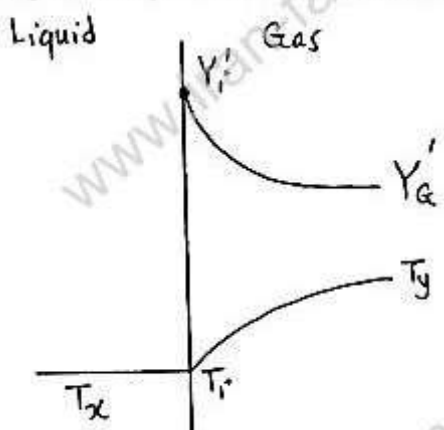
$$\frac{h_G}{K_y C_s} = 1 \rightarrow t_w = t_{as} \quad (193)$$

یعنی برای این سیستم دمای اشباع آدیباتیک و دمای حباب مرطوب با هم برابر هستند.

نکته: هرچه رطوبت نسبی هوا کمتر باشد اختلاف دمای حباب خشک و مرطوب هوا  $(t_G - t_w)$  بزرگتر است.

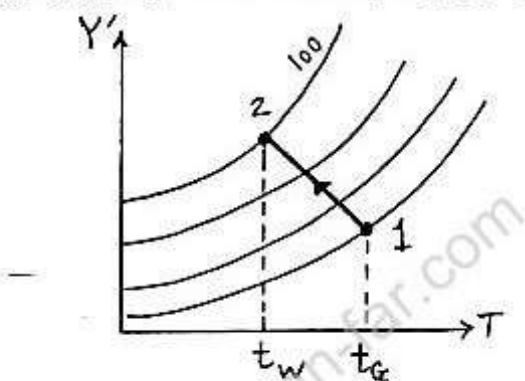
### ۶-۹- کولر آبی

در کولر آبی در اثر تماس هوا با آب، تبخیر آب به دورن هوا انجام می‌شود. در این حالت هوا انرژی لازم برای تبخیر آب را فراهم می‌کند. لذا دمای خود هوا کاهش می‌یابد. در شکل زیر پروفایل رطوبت و دما در سطح تماس مایع و هوا در کولر آبی نشان داده شده است:



عاملی که در کولر آبی باعث خنک شدن هوا می‌شود تبخیر آب به دورن هوا با انرژی هواست  $(T_y > T_i)$  در کولر آبی در حالت نوری می‌توان هوا را تا دمای حباب مرطوب هوا خنک کرد. لذا پایین‌ترین دمایی که در کولر آبی به آن می‌توان رسید دمای حباب مرطوب هواست. دمای آب چرخشی در کولر آبی تقریباً برابر دمای Wet Bulb هواست چون زمان ماند آب درون کولر زیاد است.

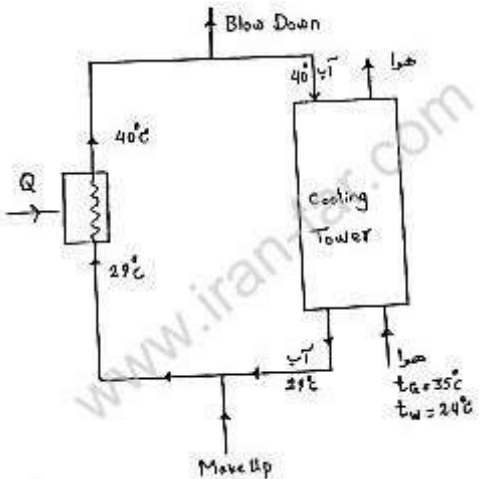
در مناطق شرجی به علت رطوبت نسبی بالای هوا اختلاف بین دمای حباب خشک و مرطوب هوا ناجیز است لذا خنکسازی چندانی در کولر آبی انجام نمی‌شود. بنابراین در این مناطق کولر آبی قبل استفاده نیست. مسیر تحول در کولر آبی مطابق شکل زیر است:



همانگونه که ملاحظه می‌شود در حین عبور هوا از کولر آبی دمای هوا کاهش می‌یابد و رطوبت مطلق و نسبی آن هم افزایش می‌یابد.

## ۷-۹- برج‌های خنک کن

در برج خنک کن آب برگشتی از شبکه مبدل‌های حرارتی پلنت در اثر تماس با هوا خنک می‌شود. در شکل زیر شماتیک جریان در برج خنک کن نشان داده شده است:



در برج خنک کن عاملی که باعث خنک شدن آب می‌شود تبخیر آب به درون هوا با انرژی آب است.

$$(194) \quad \text{دما} \sim 2 + (\text{دما} \sim 5^{\circ}\text{C}) \quad \text{دما} \sim 2 + (\text{دما} \sim 5^{\circ}\text{C}) = \text{دما} \sim 2 + (\text{دما} \sim 5^{\circ}\text{C})$$

اختلاف دمای آب خنک خروجی و دمای حباب مرطوب هوای ورودی را اختلاف دمای نزدیکی یا  $\Delta T_{Approach}$  می‌گویند:

$$(195) \quad \Delta T_{Approach} = 2 \sim 5^{\circ}\text{C}$$

در شکل فوق چون  $t_w = 24^{\circ}\text{C}$  است لذا آب را می‌توان تا دمایی بین  $26 \sim 29^{\circ}\text{C}$  خنک کرد. در سیکل بسته آب درون برج خنک کن، به سه دلیل هدر رفت آب در سیکل چرخشی داریم:

۱- هدر رفت آب ناشی از تبخیر آب به درون هوا (E)

۲- قطرات آبی که با جریان هوا حمل می‌شوند (Drift D) با

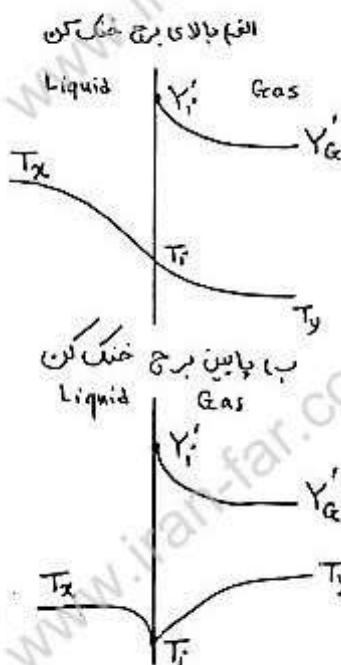
۳- به دلیل تعلیظ آب به واسطه تبخیر، غلظت نمک در سیکل مدام در حال افزایش است. برای جلوگیری از ازدیاد بیش از حد نمک

بخشی از آب چرخشی دارای نمک بالا از سیکل خارج شده و به جای آن آب با نمک کم وارد می‌شود (B) با

بنابراین آب جبرانی (Make up) باید هدر رفت آب ناشی از هر ۳ عامل فوق را جبران نماید:

$$Make up = E + D + B \quad (196)$$

دی جریان Make up حدود ۲ تا ۳ درصد دی آب چرخشی است. منحنی‌های پروفایل دما و رطوبت در بالا و پایین برج خنک کن به ترتیب در شکل‌های زیر نشان داده شده است:



## ۱- خشک کردن (Drying)

اگر جامد مرطوبی گرما دریافت کند رطوبت همراه آن خارج می‌شود. خشک کردن پدیده توأم انتقال حرارت و انتقال جرم است. خشک کن‌ها از حیث نوعه انتقال حرارت به دو دسته اصلی تقسیم می‌شوند:

### ۱- خشک کن‌های مستقیم (Direct)

در این خشک کن انتقال گرما به جامد مرطوب توسط هوای داغ عبوری از درون خشک کن انجام می‌شود و لذا انتقال حرارت با مکانیزم جابجایی انجام می‌شود. این خشک کن‌ها را آدیباتیک هم می‌گویند جون از بدنه خشک کن تبادل گرما انجام نمی‌شود.

### ۲- خشک کن‌های غیر مستقیم (Indirect)

در این خشک کن‌ها بدنه خشک کن توسط steam یا المنت حرارتی گرم می‌شود و سپس گرما از بدنه به جامد مرطوب درون خشک کن منتقل می‌شود. این خشک کن‌ها را خشک کن غیر آدیباتیک هم می‌گویند. مکانیزم اصلی انتقال حرارت در این خشک کن‌ها هدایت حرارتی است.

خشک کن‌ها از حیث ظرفیت نیز به دو دسته اصلی تابپوسته (Batch) و پیوسته (continuous) تقسیم می‌شوند. در ظرفیت‌های کمتر از  $50 \frac{\text{kg}}{\text{hr}}$  حتماً باید از خشک کن نابپوسته استفاده شود و در ظرفیت‌های بالاتر از  $1000 \frac{\text{kg}}{\text{hr}}$  نیز باید از خشک کن پیوسته استفاده گردد. در فاصله بین 50 تا 1000 کیلوگرم بر ساعت محاسبات اقتصادی تعیین کننده خواهد بود.

نکته: برای خشک کردن مواد غذایی و دارویی حساس به دما باید از خشک کنی استفاده شود که در آن ماده برای زمان طولانی در معرض دمای بالا قرار نگیرد. لذا یا باید زمان خشک کردن کوتاه باشد یا دمای عملیاتی پایین باشد. خشک کن‌های پاششی (Spray Dryer) یکی از بهترین گزینه‌ها در این زمینه به شمار می‌روند چون کمترین زمان اقامت را بین همه خشک کن‌ها دارند ( $t < 30\text{sec}$ )